

Séminaire VAG – LIRMM – 13/11/2008

***Décomposition et reconstruction
de réseaux phylogénétiques de
niveau k depuis des triplets***

Philippe Gambette

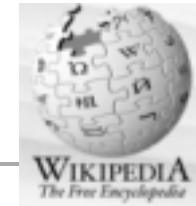


Plan

- **Les réseaux phylogénétiques**
- **Décomposition des réseaux de niveau k**
- **Reconstruction de réseaux depuis des triplets**
- **L'approche par obstructions**
- **Codage des réseaux de niveau 1 par leurs triplets**

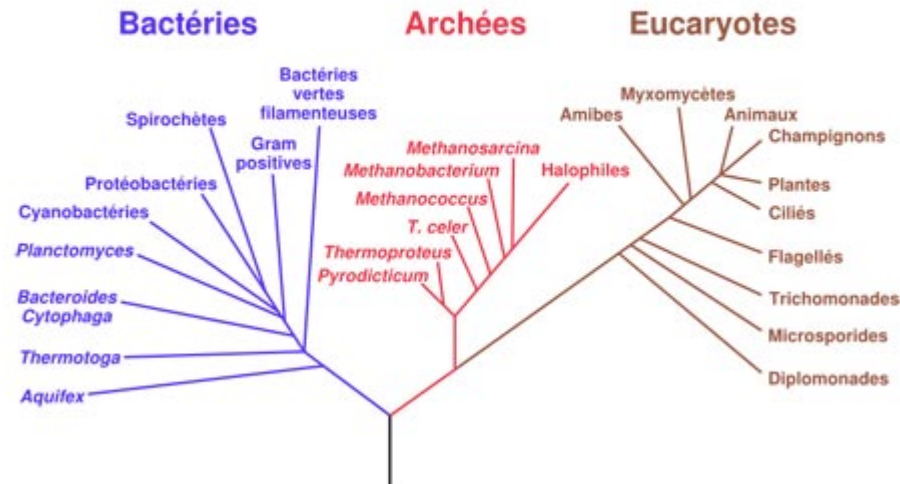
Les arbres phylogénétiques

Arbre phylogénétique



Un **arbre phylogénétique** est un **arbre** schématique qui montre les relations de parentés entre des entités supposées avoir un ancêtre commun.

Arbre phylogénétique de la vie



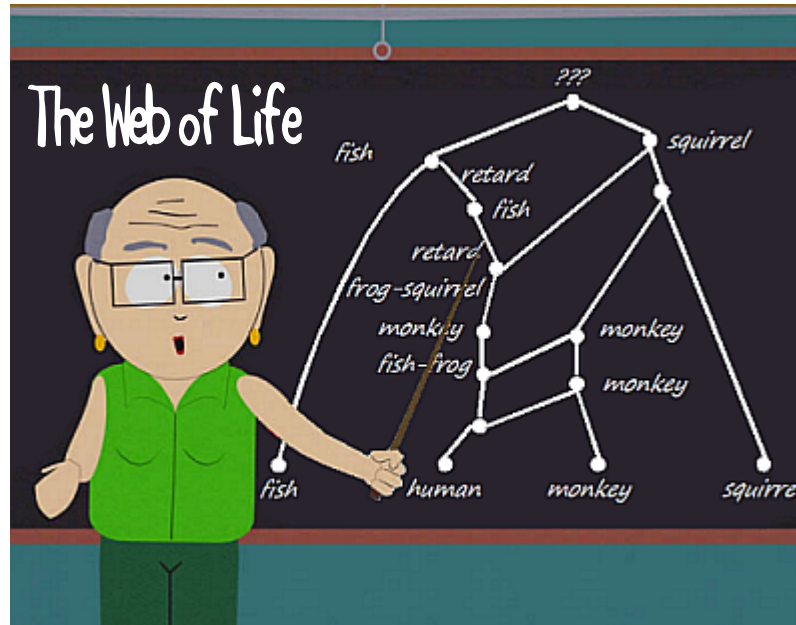
D'après Woese, Kandler, Wheelis : Towards a natural system of organisms: proposal for the domains Archaea, Bacteria, and Eucarya, Proceedings of the National Academy of Sciences, 87(12), 4576–4579 (1990)

Les réseaux phylogénétiques

Réseau phylogénétique



Un **réseau phylogénétique** désigne un **graphe** utilisé pour visualiser les relations liées à l'évolution entre des espèces ou des organismes. Il doit être employé quand interviennent des événements d'**hybridations**, de transferts horizontaux de gènes, ou de **recombinaisons génétiques**.



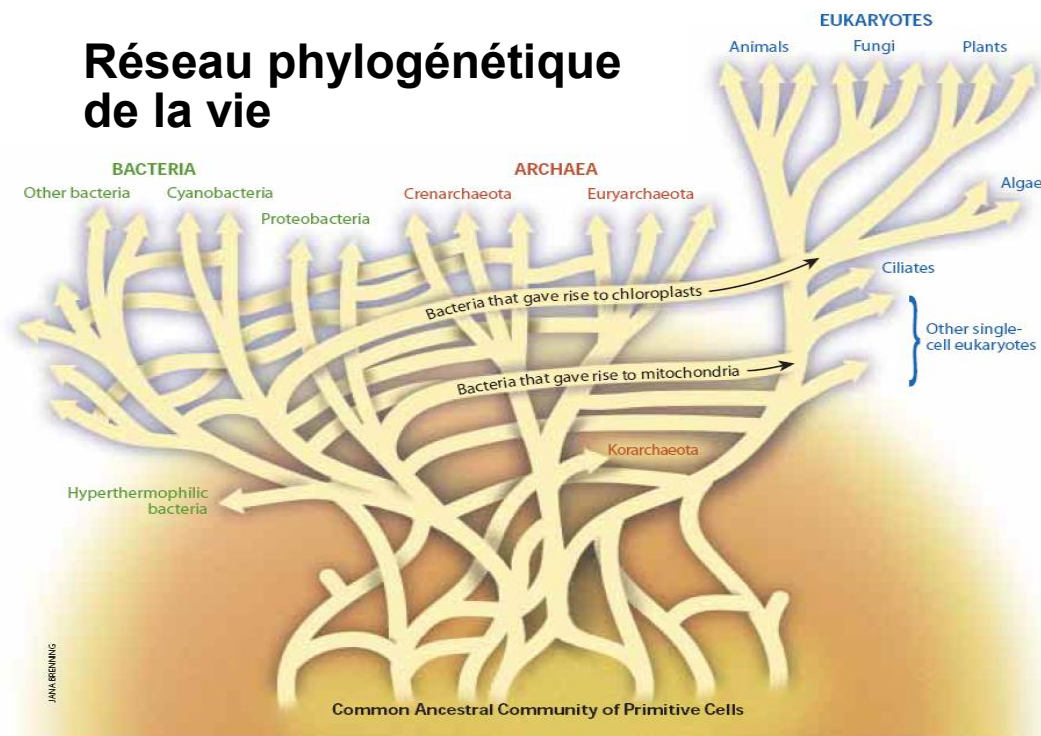
Le "réseau phylogénétique de la vie" d'après Mme Garrison dans South Park S10E12.

Les réseaux phylogénétiques

Réseau phylogénétique



Un réseau phylogénétique désigne un **graphe** utilisé pour visualiser les relations liées à l'évolution entre des espèces ou des organismes. Il doit être employé quand interviennent des événements d'**hybridations**, de transferts horizontaux de gènes, ou de **recombinaisons génétiques**.



Les réseaux phylogénétiques

Réseau phylogénétique



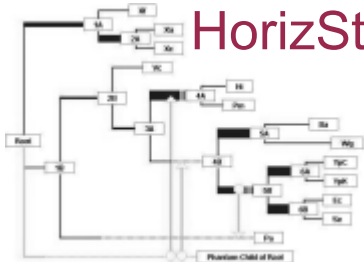
Un réseau phylogénétique désigne un **graphe** utilisé pour visualiser les relations liées à l'évolution entre des espèces ou des organismes. Il doit être employé quand interviennent des événements d'**hybridations**, de transferts horizontaux de gènes, ou de **recombinaisons génétiques**.



réseau de niveau 2

Level-2

diagramme de synthèse

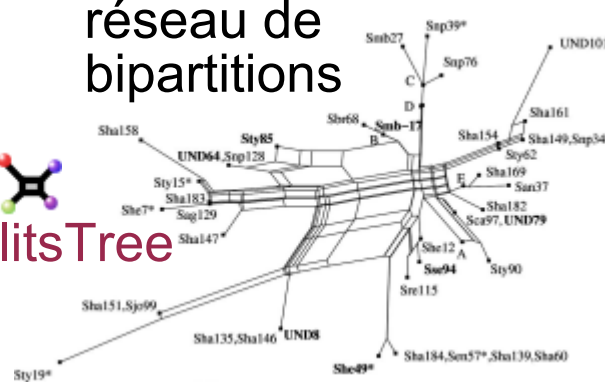


HorizStory

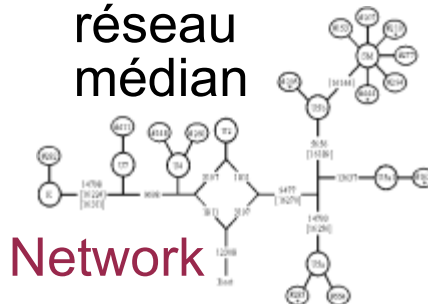
réseau de bipartitions



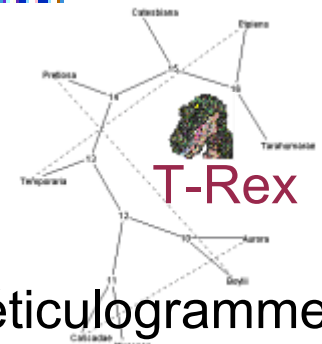
SplitsTree



réseau médian

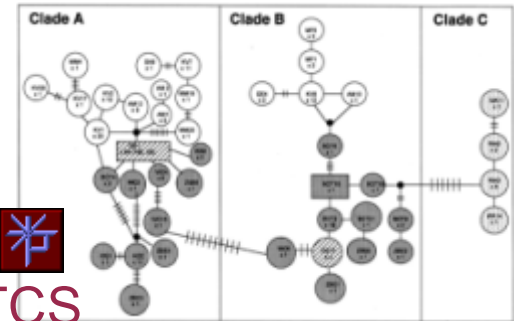


Network



réticulogramme

réseau couvrant minimum



TCS

Réseaux abstraits ou explicites

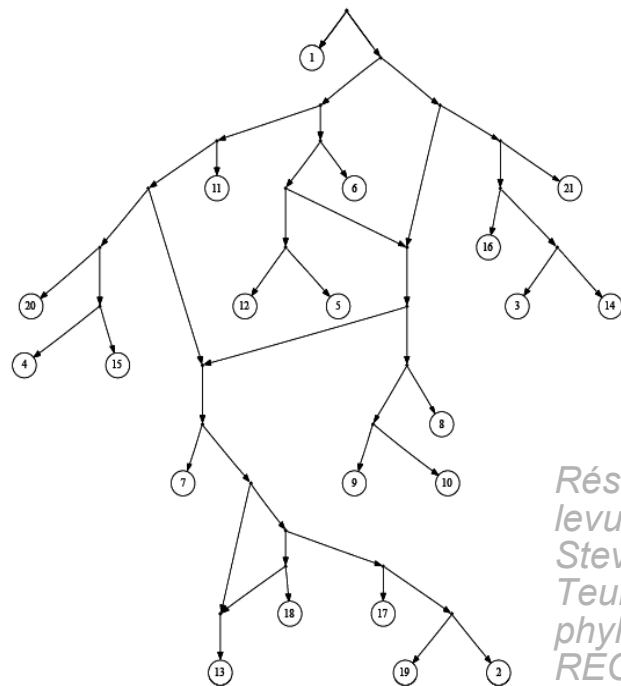
Un **réseau phylogénétique explicite** est un réseau phylogénétique dont tous les noeuds correspondent à des événements biologiques précis.

Un **réseau phylogénétique abstrait** reflète des signaux phylogénétiques sans nécessairement représenter explicitement des événements biologiques.

Réseaux abstraits ou explicites

Un **réseau phylogénétique explicite** est un réseau phylogénétique dont tous les noeuds correspondent à des événements biologiques précis.

Un **réseau phylogénétique abstrait** reflète des signaux phylogénétiques sans nécessairement représenter explicitement des événements biologiques.

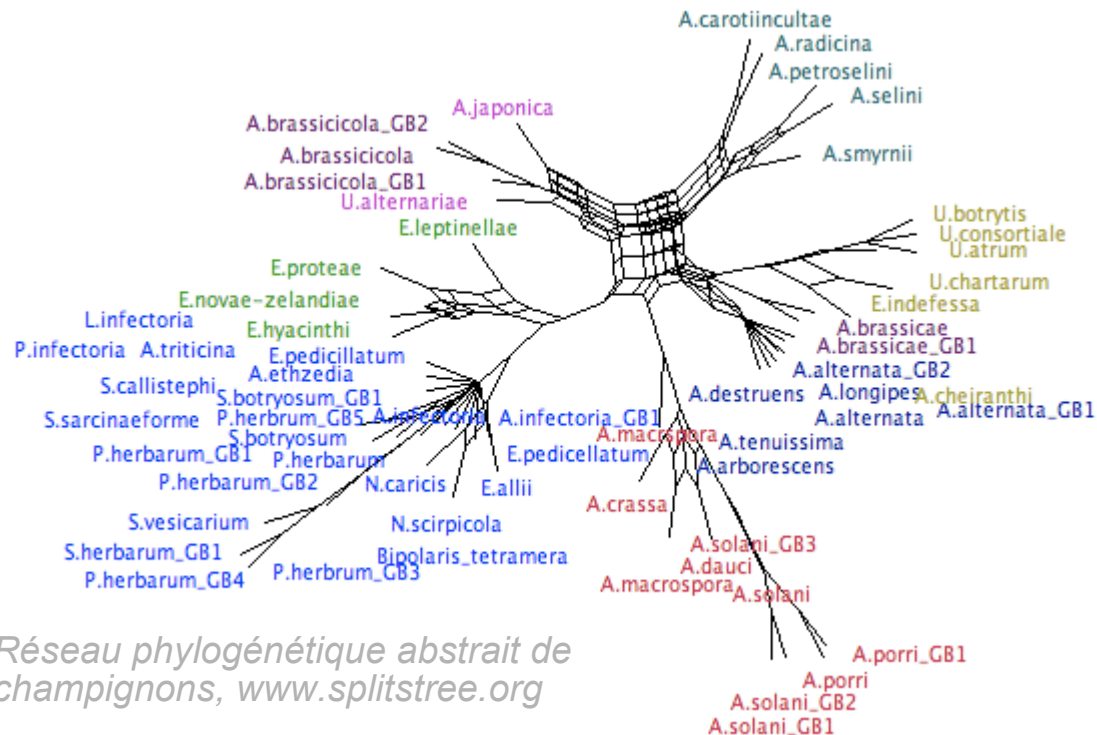


Réseau phylogénétique explicite de levures, Leo van Iersel, Judith Keijsper, Steven Kelk, Leen Stougie, Ferry Hagen, Teun Boekhout : Constructing level-2 phylogenetic networks from triplets. RECOMB'08

Réseaux abstraits ou explicites

Un réseau phylogénétique explicite est un réseau phylogénétique dont tous les noeuds correspondent à des événements biologiques précis.

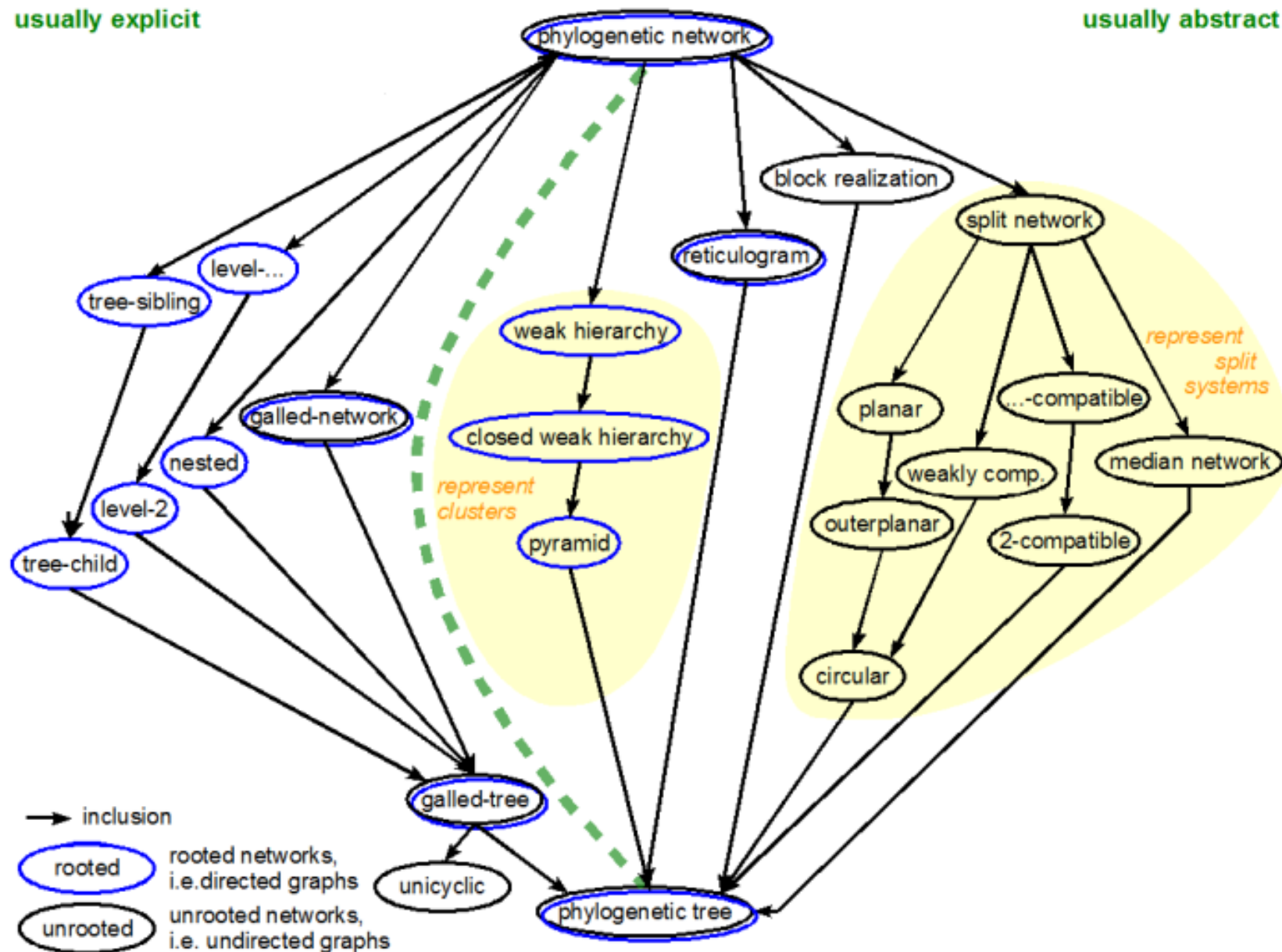
Un **réseau phylogénétique abstrait** reflète des signaux phylogénétiques sans nécessairement représenter explicitement des événements biologiques.



Hiérarchie de sous-classes de réseaux

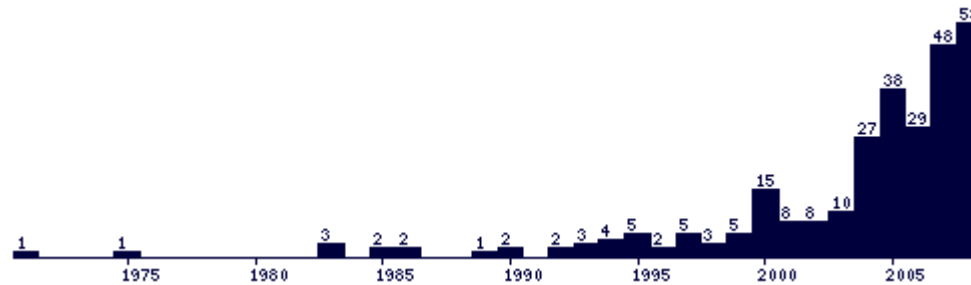
usually explicit

usually abstract

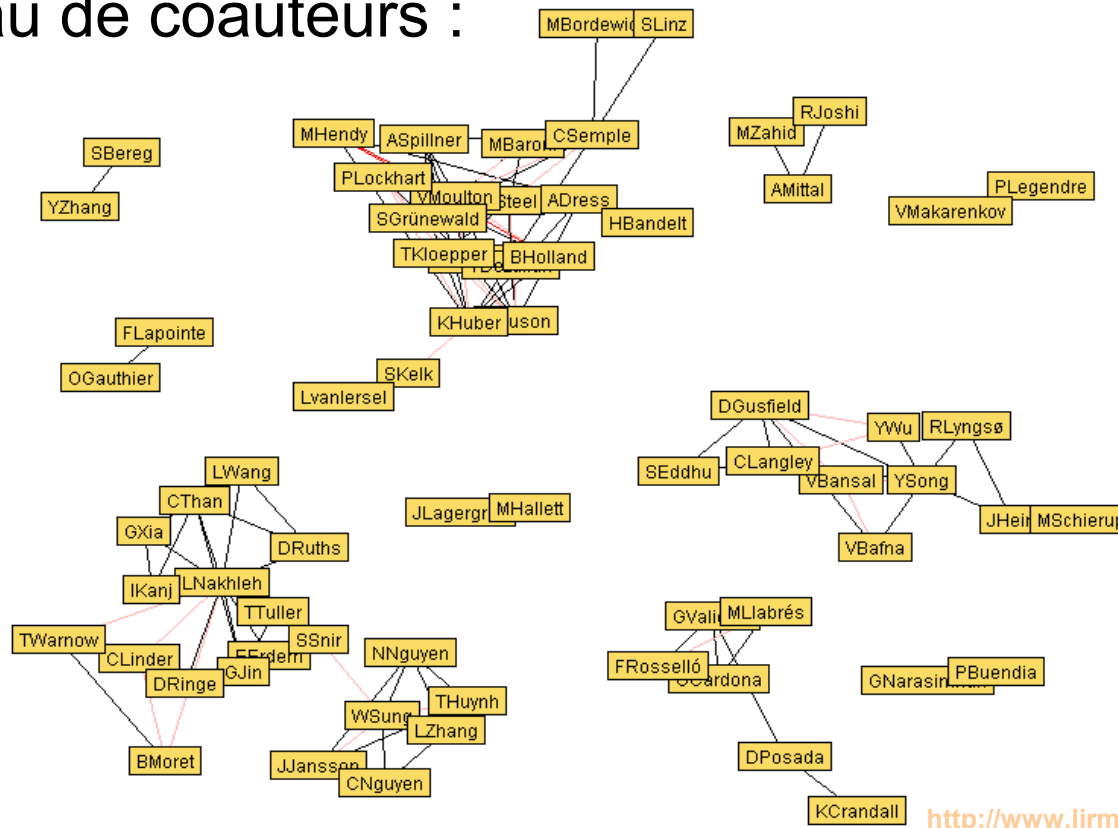


Réseaux phylogénétiques : sujet d'actualité

Publications sur les réseaux phylogénétiques :



Réseau de coauteurs :



Réseaux phylogénétiques : sujet d'actualité

Who is Who in Phylogenetic Networks - Articles, Authors & Programs [RSS](#)

Index Browse [Contribute!](#) [My selection](#)

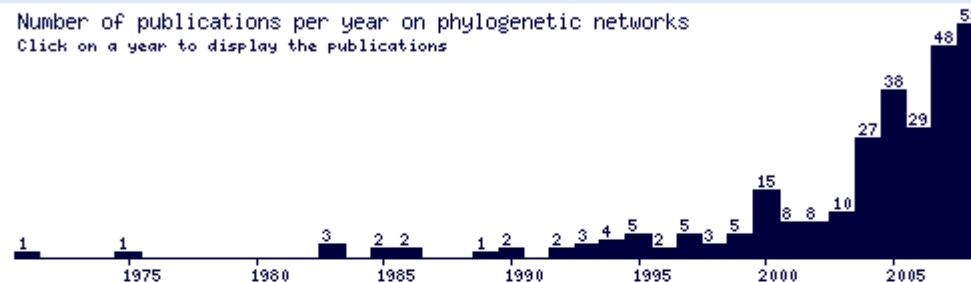
Search: in All (word length \geq 3) [Login](#)

Publications - Index ([All 277 publications](#))

Selection by: [Year](#) | [Category](#) | [Keyword](#) | [Author](#)

Selection by Year

Number of publications per year on phylogenetic networks
Click on a year to display the publications



Selection by Category

[Article \(Journal\)](#) (159) [InProceedings](#) (77) [InBook](#) (13)
[PhdThesis](#) (11) [Misc](#) (17) [Programs](#) (37)

Selection by Keyword

[abstract-network](#)(21) [approximation](#)(4) [APX-hard](#)(1) [ARG](#)(5) [block-realization](#)(1) [bootstrap](#)(1) [bound](#)(3) [branch-and-bound](#)(1) [cactus-graph](#)(1) [characterization](#)(3) [clustering](#)(2) [coalescent](#)(5) [consensus](#)(8) [consistency](#)(2) [construction](#)(2) [distance-between-networks](#)(19) [diversity](#)(1) [enumeration](#)(1) [evaluation](#)(22) [explicit-network](#)(23) [FPT](#)(6) [from-clusters](#)(3) [from-distances](#)(18) [from-multilabeled-tree](#)(2) [from-network](#)(5) [from-quartets](#)(5) [from-rooted-trees](#)(26) [from-sequences](#)(17) [from-splits](#)(10) [from-trees](#)(7) [from-triplets](#)(10) [from-unrooted-trees](#)(7) [galled-network](#)(2) [galled-tree](#)(26) [generation](#)(5) [haplotype-network](#)(2) [haplotyping](#)(1) [heuristic](#)(4) [HMM](#)(1) [hybridization](#)(16) [labeling](#)(3) [lateral-gene-transfer](#)(13) [level-f-phylogenetic-network](#)(7) [likelihood](#)(7) [lineage-sorting](#)(1) [MASN](#)(4) [median-network](#)(14) [MedianJoining](#)(2) [minimum-number](#)(8) [minimum-spanning-network](#)(2) [mu-distance](#)(1) [NeighborNet](#)(9) [nested-network](#)(2) [netting](#)(3) [normal-network](#)(1) [NP-complete](#)(13) [optimal-realization](#)(2) [parsimony](#)(10) [perfect](#)(5) [phylogenetic-network](#)(151) [phylogeny](#)(155) [polynomial](#)(26) [Program-Arlequin](#)(5) [Program-Beagle](#)(3) [Program-Bio-PhyloNetwork](#)(4) [Program-CombineTrees](#)(2) [Program-Dendroscope](#)(5) [Program-EEEP](#)(2) [Program-GalledTree](#)(1) [Program-HapBound](#)(1) [Program-HorizStory](#)(2) [Program-HybridNumber](#)(1) [Program-LatTrans](#)(3) [Program-Level2](#)(1) [Program-Marlon](#)(1) [Program-](#)

Réseaux phylogénétiques : sujet d'actualité

 **Who is Who in Phylogenetic Networks - Articles, Authors & Programs** 

Index **Browse** Contribute! My selection

Search: in **All** (word length ≥ 3) Login

Publications of Year << 2008 >> 

<< Article (Journal) >> 

1 

[Gabriel Cardona](#), [Mercè Llabrés](#), [Francesc Rosselló](#) and [Gabriel Valiente](#). **Metrics for phylogenetic networks II: Nodal and triplets metrics.** 2008. [Comment] [BIBTeX](#)

Keywords: distance between networks, phylogenetic network, phylogeny. **Note:** Submitted. [Annote]

2 

[Cuong Than](#), [Derek Ruths](#) and [Luay Nakhleh](#). **PhyloNet: A Software Package for Analyzing and Reconstructing Reticulate Evolutionary Relationships.** In *BMC Bioinformatics*, Vol. 9(322), 2008. [Comment] [BIBTeX](#)

Keywords: Program PhyloNet, software. **Note:** <http://dx.doi.org/10.1186/1471-2105-9-322>. [Annote]

3 

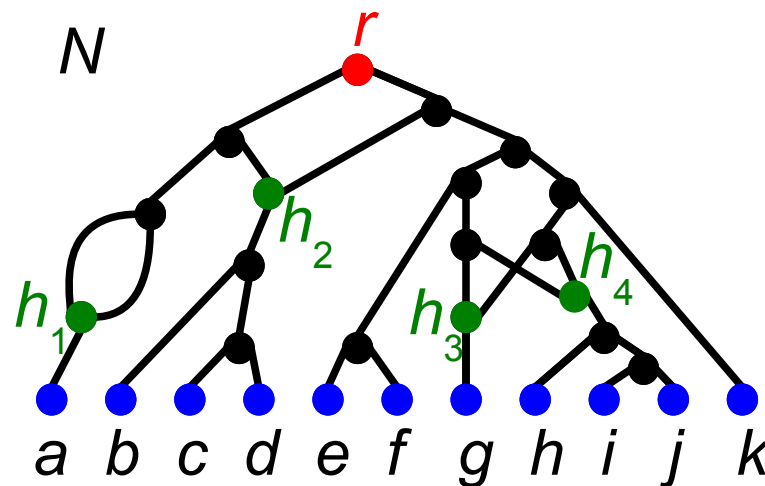
[Iyad A. Kanj](#), [Luay Nakhleh](#), [Cuong Than](#) and [Ge Xia](#). **Seeing the Trees and Their Branches in the Network is Hard.** In *TCS*, Vol. 401:153-164, 2008. [Comment] [BIBTeX](#)

Keywords: evaluation, from network, from rooted trees, NP-complete, phylogenetic network, phylogeny. **Note:** <http://www.cs.rice.edu/~nakhleh/Papers/tcs08.pdf>. [Annote]

Réseaux phylogénétiques de niveau k

Un **réseau phylogénétique de niveau k** sur un ensemble X de n taxons est un multigraphe orienté dans lequel :

- un sommet a degré entrant 0 et sortant 2 : la **racine**,
- tous les autres sommets ont soit :
 - degré entrant 1 et sortant 2: **sommets de spéciation**,
 - degré entrant 2 et sortant ≤ 1 : **sommets hybrides**,
 - ou degré entrant 1 et sortant 0 : **feuilles** étiquetées par X ,
- chaque **blob** a au plus k sommets hybrides.

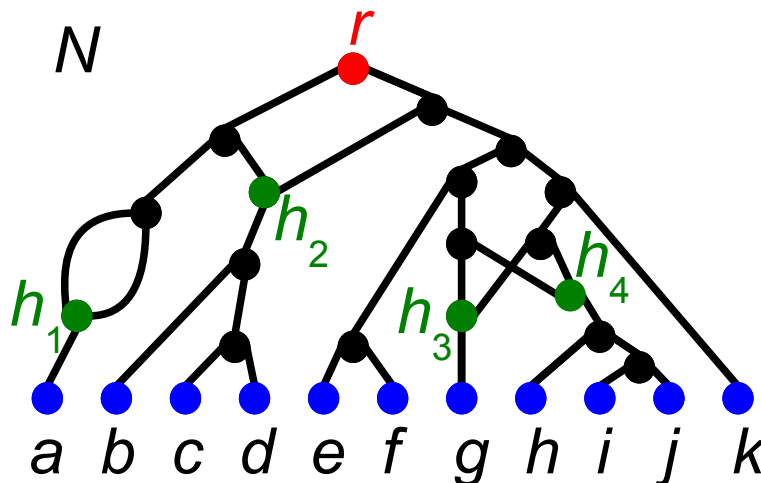


Tous les arcs sont orientés vers le bas

Réseaux phylogénétiques de niveau k

Un **réseau phylogénétique de niveau k** sur un ensemble X de n taxons est un multigraphe orienté dans lequel :

- un sommet a degré entrant 0 et sortant 2 : la **racine**,
- tous les autres sommets ont soit :
 - degré entrant 1 et sortant 2: **sommets de spéciation**,
 - degré entrant 2 et sortant ≤ 1 : **sommets hybrides**,
 - ou degré entrant 1 et sortant 0 : **feuilles** étiquetées par X ,
- chaque **blob** a au plus k sommets hybrides.

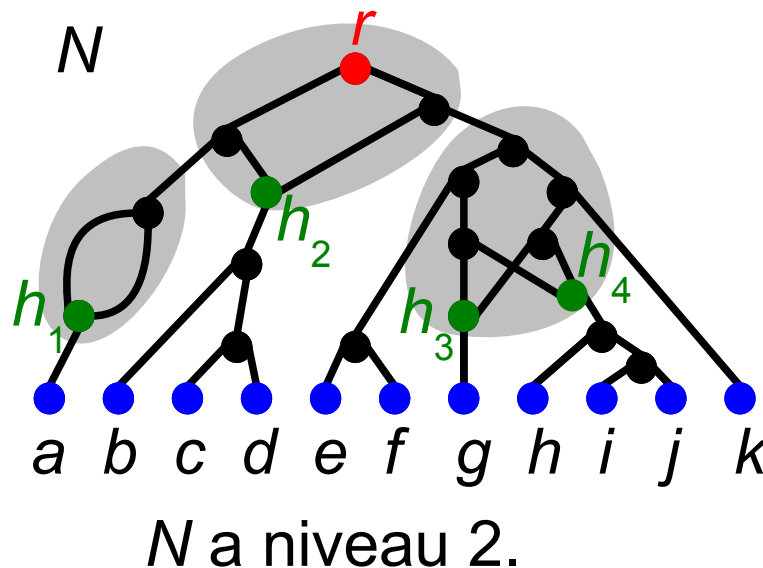


Un **blob** est une composante **biconnexe** maximale du graphe non orienté sous-jacent, c'est à dire un sous-graphe maximal non déconnecté par la suppression d'un sommet quelconque.

Réseaux phylogénétiques de niveau k

Un **réseau phylogénétique de niveau k** sur un ensemble X de n taxons est un multigraphe orienté dans lequel :

- un sommet a degré entrant 0 et sortant 2 : la **racine**,
- tous les autres sommets ont soit :
 - degré entrant 1 et sortant 2: **sommets de spéciation**,
 - degré entrant 2 et sortant ≤ 1 : **sommets hybrides**,
 - ou degré entrant 1 et sortant 0 : **feuilles** étiquetées par X ,
- chaque **blob** a au plus k sommets hybrides.



Un **blob** est une composante **biconnexe** maximale du graphe non orienté sous-jacent, c'est à dire un sous-graphe maximal non déconnecté par la suppression d'un sommet quelconque.

Réseaux phylogénétiques de niveau k

Motivation pour généraliser les “galled trees” (niveau 1) :

Table 1: Number of simulated networks falling in each class as a function of the recombination rate $\rho = 0, 1, 2, 4, 8, 16, 32$, for sample size $n = 10$.

| Network class | Recombination rate | | | | | | |
|---------------|--------------------|-----|-----|-----|----|----|----|
| | 0 | 1 | 2 | 4 | 8 | 16 | 32 |
| Regular | 1,000 | 200 | 58 | 5 | 0 | 0 | 0 |
| Tree-sibling | 1,000 | 832 | 514 | 151 | 14 | 0 | 0 |
| Tree-child | 1,000 | 560 | 205 | 39 | 1 | 0 | 0 |
| Galled-trees | 1,000 | 440 | 137 | 21 | 1 | 0 | 0 |
| Trees | 1,000 | 139 | 27 | 1 | 0 | 0 | 0 |

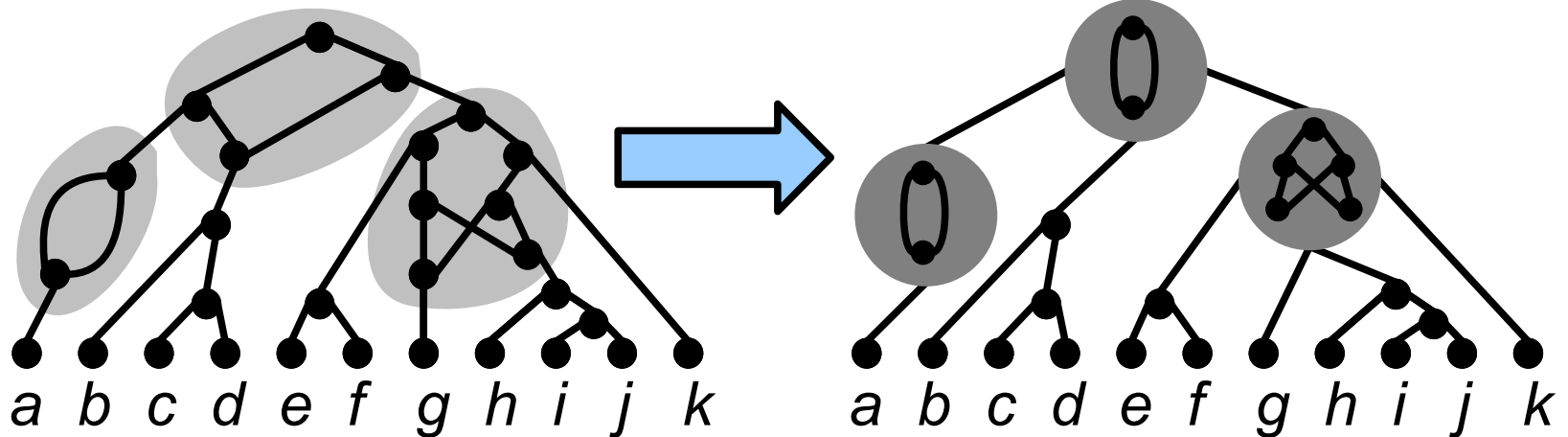
Table 2: Number of simulated networks falling in each class as a function of the recombination rate $\rho = 0, 1, 2, 4, 8, 16, 32$, for sample size $n = 50$.

| Network class | Recombination rate | | | | | | |
|---------------|--------------------|-----|-----|-----|---|----|----|
| | 0 | 1 | 2 | 4 | 8 | 16 | 32 |
| Regular | 1,000 | 57 | 1 | 0 | 0 | 0 | 0 |
| Tree-sibling | 1,000 | 784 | 469 | 101 | 2 | 0 | 0 |
| Tree-child | 1,000 | 463 | 126 | 9 | 0 | 0 | 0 |
| Galled-trees | 1,000 | 161 | 5 | 0 | 0 | 0 | 0 |
| Trees | 1,000 | 34 | 0 | 0 | 0 | 0 | 0 |

*Arenas, Valiente, Posada :
Characterization of
Phylogenetic Reticulate
Networks based on the
Coalescent with
Recombination, Molecular
Biology and Evolution, to
appear.*

Décomposition des réseaux de niveau k

Nous avons formalisé cette décomposition en composantes biconnexes :



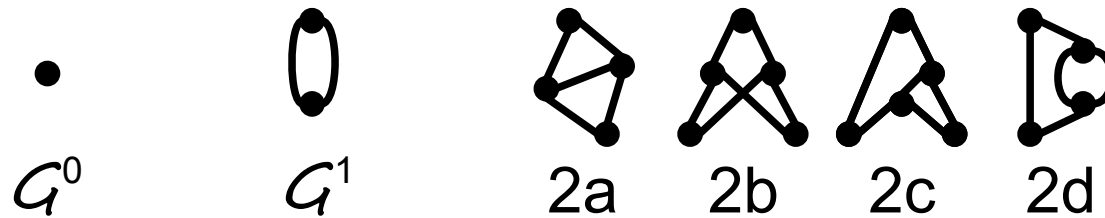
N , un réseau de niveau k .

N décomposé comme
arbre de générateurs.

Générateurs introduits par van Iersel & al (Recomb 2008)
pour une classe restreinte de réseaux de niveau k .

Générateurs de niveau k

Un **générateur de niveau k** est un réseau de niveau k biconnexe.



Les **côtés** d'un générateur sont :

- ses arcs
- ses sommets hybrides de degré sortant 0

\mathbf{S}_k est l'ensemble des générateurs de niveau au plus k .

Décomposition des réseaux de niveau k

N est un réseau de niveau k

ssi

il existe une suite $(I_j)_{j \in [1, r]}$ de r emplacements

(arcs ou sommets hybrides de degré sortant 0)

et une suite $(G_j)_{j \in [0, r]}$ de générateurs de niveau au plus k , telles que :

- $N = \text{Attach}_k(I_r, G_r, \text{Attach}_k(\dots \text{Attach}_k(I_2, G_2, \text{Attach}_k(I_1, G_1, G_0)) \dots))$,

- or $N = \text{Attach}_k(I_r, G_r, \text{Attach}_k(\dots \text{Attach}_k(I_2, G_2, \text{SplitRoot}_k(G_1, G_0)) \dots))$.

Décomposition des réseaux de niveau k

N est un réseau de niveau k

ssi

il existe une suite $(I_j)_{j \in [1, r]}$ de r emplacements

(arcs ou sommets hybrides de degré sortant 0)

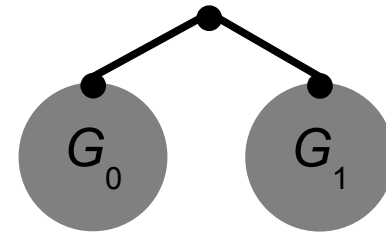
et une suite $(G_j)_{j \in [0, r]}$ de générateurs de niveau au plus k , telles que :

- $N = \text{Attach}_k(I_r, G_r, \text{Attach}_k(\dots \text{Attach}_k(I_2, G_2, \text{Attach}_k(I_1, G_1, G_0)) \dots))$,

- or $N = \text{Attach}_k(I_r, G_r, \text{Attach}_k(\dots \text{Attach}_k(I_2, G_2, \text{SplitRoot}_k(G_1, G_0)) \dots))$.



$\text{SplitRoot}_k(G_1, G_0)$



Décomposition des réseaux de niveau k

N est un réseau de niveau k

ssi

il existe une suite $(I_j)_{j \in [1, r]}$ de r emplacements

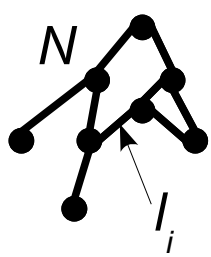
(arcs ou sommets hybrides de degré sortant 0)

et une suite $(G_j)_{j \in [0, r]}$ de générateurs de niveau au plus k , telles que :

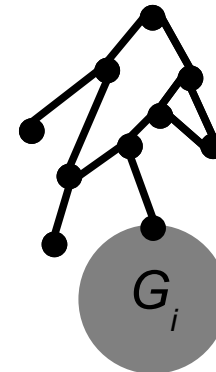
- $N = \text{Attach}_k(I_r, G_r, \text{Attach}_k(\dots \text{Attach}_k(I_2, G_2, \text{Attach}_k(I_1, G_1, G_0)) \dots))$,

- or $N = \text{Attach}_k(I_r, G_r, \text{Attach}_k(\dots \text{Attach}_k(I_2, G_2, \text{SplitRoot}_k(G_1, G_0)) \dots))$.

I_i est un arc de N



$\text{Attach}_k(I_i, G_i, N)$



Décomposition des réseaux de niveau k

N est un réseau de niveau k

ssi

il existe une suite $(I_j)_{j \in [1,r]}$ de r emplacements

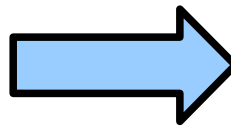
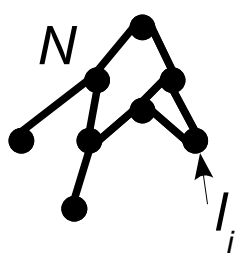
(arcs ou sommets hybrides de degré sortant 0)

et une suite $(G_j)_{j \in [0,r]}$ de générateurs de niveau au plus k , telles que :

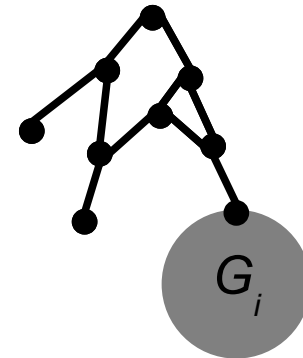
- $N = \text{Attach}_k(I_r, G_r, \text{Attach}_k(\dots \text{Attach}_k(I_2, G_2, \text{Attach}_k(I_1, G_1, G_0)) \dots))$,

- or $N = \text{Attach}_k(I_r, G_r, \text{Attach}_k(\dots \text{Attach}_k(I_2, G_2, \text{SplitRoot}_k(G_1, G_0)) \dots))$.

I_i est un sommet hybride de N



$\text{Attach}_k(I_i, G_i, N)$



Décomposition des réseaux de niveau k

N est un réseau de niveau k

ssi

il existe une suite $(I_j)_{j \in [1, r]}$ de r emplacements

(arcs ou sommets hybrides de degré sortant 0)

et une suite $(G_j)_{j \in [0, r]}$ de générateurs de niveau au plus k , telles que :

- $N = \text{Attach}_k(I_r, G_r, \text{Attach}_k(\dots \text{Attach}_k(I_2, G_2, \text{Attach}_k(I_1, G_1, G_0)) \dots))$,
- or $N = \text{Attach}_k(I_r, G_r, \text{Attach}_k(\dots \text{Attach}_k(I_2, G_2, \text{SplitRoot}_k(G_1, G_0)) \dots))$.

Attention, cette décomposition n'est **pas unique** !

Malgré tout, applications possibles :

- génération exhaustive
- énumération des réseaux de niveau k
- la décomposition en composantes biconnexes est une décomposition arborescente ... pour les graphes **non orientés**.

Décomposition des réseaux de niveau k

N est un réseau de niveau k

ssi

il existe une suite $(I_j)_{j \in [1, r]}$ de r emplacements

(arcs ou sommets hybrides de degré sortant 0)

et une suite $(G_j)_{j \in [0, r]}$ de générateurs de niveau au plus k , telles que :

- $N = \text{Attach}_k(I_r, G_r, \text{Attach}_k(\dots \text{Attach}_k(I_2, G_2, \text{Attach}_k(I_1, G_1, G_0)) \dots))$,

- or $N = \text{Attach}_k(I_r, G_r, \text{Attach}_k(\dots \text{Attach}_k(I_2, G_2, \text{SplitRoot}_k(G_1, G_0)) \dots))$.

Attention, cette décomposition n'est **pas unique** !

Malgré tout, applications possibles :

- génération exhaustive
- énumération des réseaux de niveau k
- la décomposition en composantes biconnexes est une décomposition arborescente ... pour les graphes **non orientés**.

$f : \{\text{générateurs de niveau } k+1\} \rightarrow \{\text{multigraphes biconnexes 3-réguliers sans boucle à } 2k \text{ noeuds}\}$

bien définie et surjective \rightarrow borne inférieure pour g_k ? 

Construction des générateurs

Van Iersel & al construisent les 4 générateurs de niveau 2 par une analyse de cas, généralisée par Kelk en un algorithme exponentiel pour trouver les 65 générateurs de niveau 3.



Greetings from [The On-Line Encyclopedia of Integer Sequences!](#)

[Hints](#)

Search: 1, 4, 65

Displaying 1-2 of 2 results found.

page 1

Format: long | [short](#) | [internal](#) | [text](#) Sort: relevance | [references](#) | [number](#) Highlight: on | [off](#)

[A041119](#) Denominators of continued fraction convergents to $\sqrt{68}$. +20
2

[1](#), [4](#), [65](#), 264, 4289, 17420, 283009, 1149456, 18674305, 75846676, 1232221121, 5004731160, 81307919681, 330236409884, 5365090477825, 21790598321184, 354014663616769, 1437849252788260, 23359602708228929 ([list](#); [graph](#); [listen](#))

OFFSET 0, 2

CROSSREFS Cf. [A041118](#).
Sequence in context: [A138835](#) [A119601](#) [A058438](#) this_sequence [A015475](#) [A025585](#)
[A048828](#)
Adjacent sequences: [A041116](#) [A041117](#) [A041118](#) this_sequence [A041120](#) [A041121](#)
[A041122](#)

KEYWORD nonn,cofr,easy

AUTHOR njas

[A015475](#) q-Fibonacci numbers for q=4. +20
1

0, [1](#), [4](#), [65](#), 4164, 1066049, 1091638340, 4471351706689, 73258627454030916, 4801077413298721817665, 1258573637505038759624004676, 1319710110525284599824799048959041 ([list](#); [graph](#); [listen](#))

OFFSET 0, 3

FORMULA $a(n) = 4^{(n-1)} a(n-1) + a(n-2)$.

CROSSREFS Sequence in context: [A119601](#) [A058438](#) [A041119](#) this_sequence [A025585](#) [A048828](#)

Construction des générateurs

Van Iersel & al construisent les 4 générateurs de niveau 2 par une analyse de cas, généralisée par Kelk en un algorithme exponentiel pour trouver les 65 générateurs de niveau 3.

Nous donnons des règles pour construire les générateurs de niveau $k+1$ à partir des générateurs de niveau k .

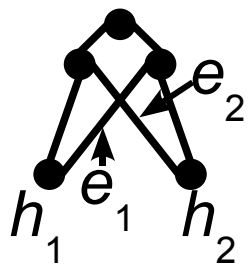
Construction des générateurs

Nous donnons des règles pour construire les générateurs de niveau $k+1$ à partir des générateurs de niveau k .

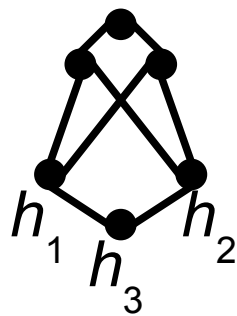
N est un générateur de niveau k .

$R_1(N, X, Y)$ est obtenu en :

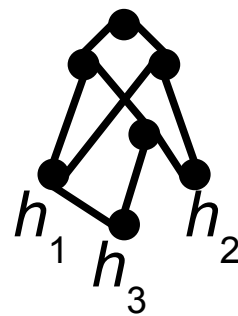
- choisissant deux côtés X et Y de N , tels que si $X = Y$ alors X n'est pas un noeud hybride (i.e. c'est un arc),
- accrochant un nouveau noeud hybride sous X et Y .



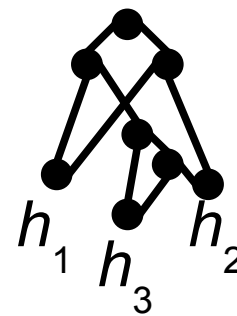
N



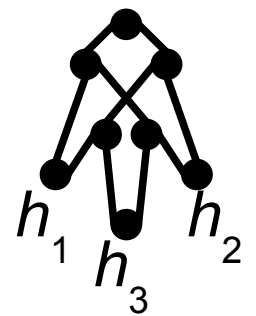
$R_1(N, h_1, h_2)$



$R_1(N, h_1, e_2)$



$R_1(N, e_1, e_2)$



$R_1(N, e_1, h_2)$

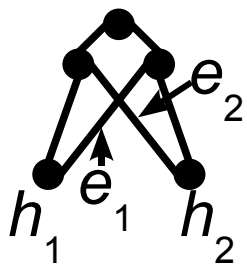
Construction des générateurs

Nous donnons des règles pour construire les générateurs de niveau $k+1$ à partir des générateurs de niveau k .

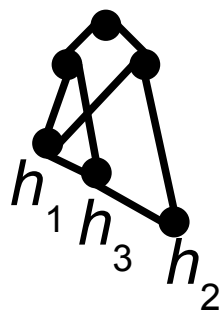
N est un générateur de niveau k .

$R_2(N, X, Y)$ est obtenu en :

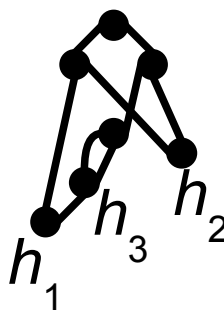
- choisissant un côté X de N et un arc Y de N , tel que X n'est pas sous Y .
- ajoutant un arc de X vers Y (ce qui crée un nouveau noeud de réticulation à l'intérieur de l'arc Y).



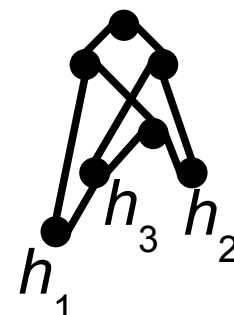
N



$R_2(N, h_1, e_2)$



$R_2(N, e_1, e_1)$



$R_2(N, e_2, e_1)$

Construction des générateurs

Nous donnons des règles pour construire les générateurs de niveau $k+1$ à partir des générateurs de niveau k .

Pour tout générateur N de niveau k , et deux côtés X et Y de N , si $R_1(N, X, Y)$ (resp. $R_2(N, X, Y)$) existe, alors $R_1(N, X, Y)$ (resp. $R_2(N, X, Y)$) est générateur de niveau $k+1$.

Pour tout générateur N de niveau $k+1$, il existe un générateur N_0 de niveau k , et deux côtés X et Y de N_0 tels que $N = R_1(N_0, X, Y)$ ou $N = R_2(N_0, X, Y)$.

Construction des générateurs

Nous donnons des règles pour construire les générateurs de niveau $k+1$ à partir des générateurs de niveau k .

Pour tout générateur N de niveau k , et deux côtés X et Y de N , si $R_1(N, X, Y)$ (resp. $R_2(N, X, Y)$) existe, alors $R_1(N, X, Y)$ (resp. $R_2(N, X, Y)$) est générateur de niveau $k+1$.

Pour tout générateur N de niveau $k+1$, il existe un générateur N_0 de niveau k , et deux côtés X et Y de N_0 tels que $N = R_1(N_0, X, Y)$ ou $N = R_2(N_0, X, Y)$.

Corollaire :

g_k : nombre de générateurs de niveau k .

$$g_{k+1} \leq 50 k^2 g_k$$

Construction des générateurs

Pour tout générateur N de niveau k , et deux côtés X et Y de N , si $R_1(N, X, Y)$ (resp. $R_2(N, X, Y)$) existe, alors $R_1(N, X, Y)$ (resp. $R_2(N, X, Y)$) est **générateur de niveau $k+1$.**

Pour tout générateur N de niveau $k+1$, il existe un générateur N_0 de niveau k , et deux côtés X et Y de N_0 tels que $N = R_1(N_0, X, Y)$ ou $N = R_2(N_0, X, Y)$.

Corollaire :

g_k : nombre de générateurs de niveau k .

$$g_{k+1} \leq 50 k^2 g_k$$

Problème !

Certains des générateurs de niveau $k+1$ ainsi obtenus depuis les générateurs de niveau k sont isomorphes !

Isomorphisme des générateurs

Problème !

Certains des générateurs de niveau $k+1$ ainsi obtenus depuis les générateurs de niveau k sont isomorphes !

Isomorphisme de graphes de degré borné :
polynomial.

(Luks, FOCS 1980)

Algorithme implémentable ? 

→ algorithme exponentiel qui convient pour le niveau 4 :
pour trouver l'isomorphisme entre deux digraphes, les
parcourir en parallèle depuis la racine et identifier leurs
sommets : $O(n2^{n-h})$

Isomorphisme des générateurs

Problème !

Certains des générateurs de niveau $k+1$ ainsi obtenus depuis les générateurs de niveau k sont isomorphes !

Isomorphisme de graphes de degré borné :
polynomial. (Luks, FOCS 1980)

Algorithme implémentable ?

→ algorithme exponentiel qui convient pour le niveau 4 :
pour trouver l'isomorphisme entre deux digraphes, les
parcourir en parallèle depuis la racine et identifier leurs
sommets : $O(n2^{n-h})$

→ $g_4 = 1993$

→ $g_5 > 71000$



Greetings from [The On-Line Encyclopedia of Integer Sequences!](http://www.oeis.org/)

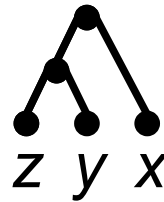
[Hints](#)

Search: 1, 4, 65, 1993

I am sorry, but the terms do not match anything in the table.

Reconstruction depuis les triplets

Un **triplet** $x|yz$ est un arbre phylogénétique enraciné sur 3 taxons $\{x,y,z\}$ tel que x , et le père de y et z , sont des fils de la racine.



La restriction d'un ensemble T de triplets à X est :

$$T_{|X} = \{ t \in T \mid t \text{ est un triplet sur les taxons } x,y,z \in X \}$$

Reconstruction depuis les triplets

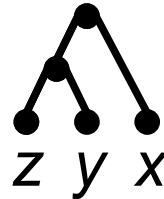
Un **triplet** $x|yz$ est un arbre phylogénétique enraciné sur 3 taxons $\{x,y,z\}$ tel que x , et le père de y et z , sont des fils de la racine.



$\{y,z\}$ est appelé la **cerise** de $x|yz$.

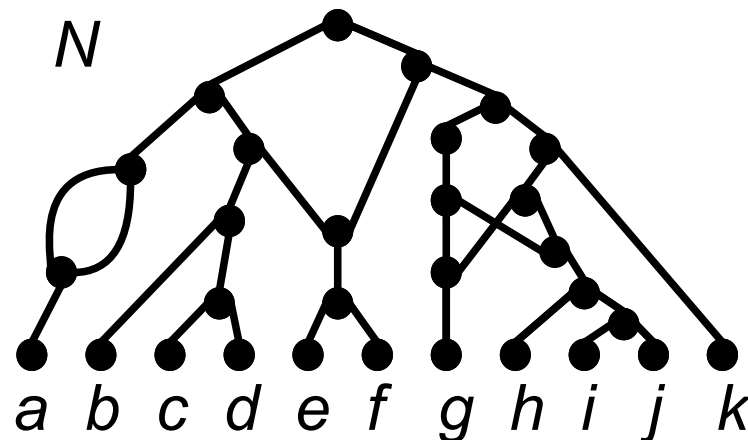
Reconstruction depuis les triplets

Un **triplet** $x|yz$ est un arbre phylogénétique enraciné sur 3 taxons $\{x,y,z\}$ tel que x , et le père de y et z , sont des fils de la racine.



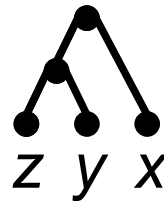
Un triplet $x|yz$ est **compatible** avec un réseau phylogénétique N de niveau k si:

- N contient deux noeuds u et v
- et des chemins intérieurement disjoints deux à deux :
 - de u à y ,
 - de u à z ,
 - de v à u ,
 - et de v à x .



Reconstruction depuis les triplets

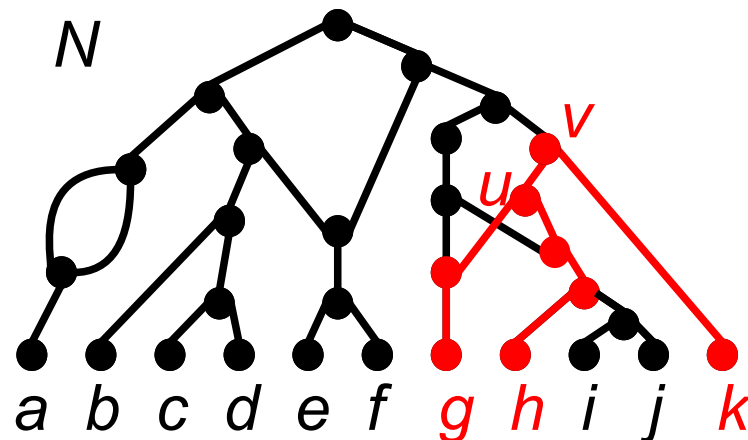
Un **triplet** $x|yz$ est un arbre phylogénétique enraciné sur 3 taxons $\{x,y,z\}$ tel que x , et le père de y et z , sont des fils de la racine.



Un triplet $x|yz$ est **compatible** avec un réseau phylogénétique N de niveau k si:

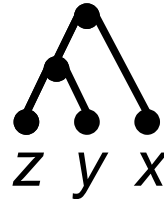
- N contient deux noeuds u et v
- et des chemins intérieurement disjoints deux à deux :
 - de u à y ,
 - de u à z ,
 - de v à u ,
 - et de v à x .

$k|gh$ compatible avec N .



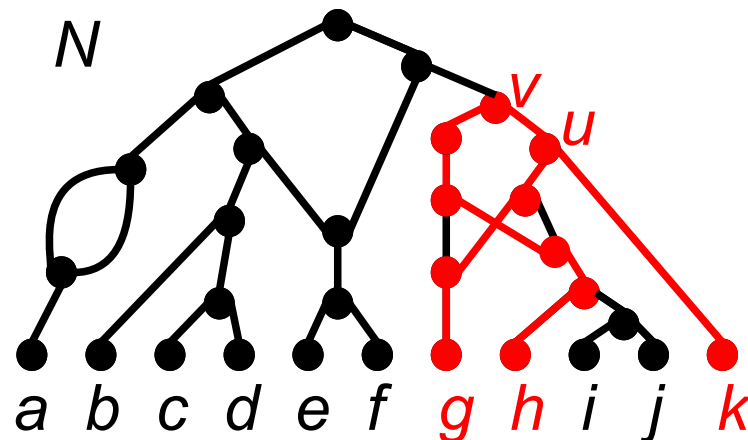
Reconstruction depuis les triplets

Un **triplet** $x|yz$ est un arbre phylogénétique enraciné sur 3 taxons $\{x,y,z\}$ tel que x , et le père de y et z , sont des fils de la racine.



Un triplet $x|yz$ est **compatible** avec un réseau phylogénétique N de niveau k si:

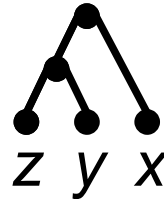
- N contient deux noeuds u et v
- et des chemins intérieurement disjoints deux à deux :
 - de u à y ,
 - de u à z ,
 - de v à u ,
 - et de v à x .



$h|gk$ compatible avec N .

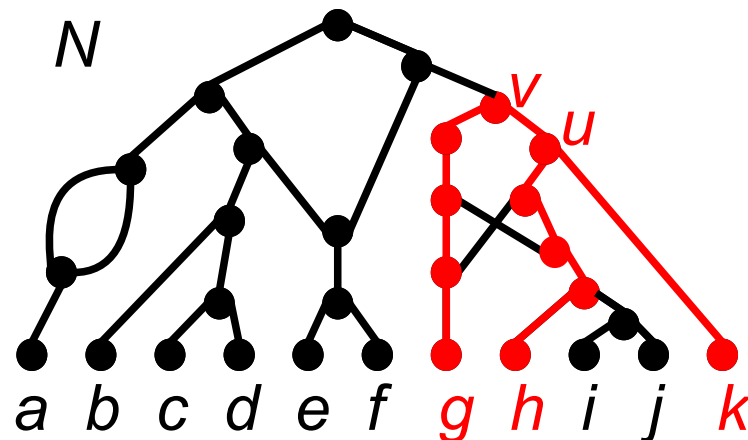
Reconstruction depuis les triplets

Un **triplet** $x|yz$ est un arbre phylogénétique enraciné sur 3 taxons $\{x,y,z\}$ tel que x , et le père de y et z , sont des fils de la racine.



Un triplet $x|yz$ est **compatible** avec un réseau phylogénétique N de niveau k si:

- N contient deux noeuds u et v
- et des chemins intérieurement disjoints deux à deux :
 - de u à y ,
 - de u à z ,
 - de v à u ,
 - et de v à x .



$g|h$ compatible avec N .

Reconstruction depuis les triplets

Pourquoi utiliser des triplets en entrée d'un algorithme de reconstruction d'arbre ou réseau phylogénétique ?

Sous un modèle coalescent, un arbre reconstruit sur plus de trois taxons sera probablement faux à cause des différences entre l'arbre du gène considéré et l'arbre des espèces.

(Degnan & Rosenberg, 2006)

Qui utilise des triplets en entrée d'un algorithme de reconstruction phylogénétique ?

- ???

- les gens qui utilisent des arbres en entrée ?

- les gens le feront quand ce sera implémenté dans des logiciels simples d'utilisation ?

Reconstruction depuis les triplets

L'ensemble $T(N)$ de **tous les triplets compatibles** avec un réseau N de niveau k peut être construit en $O(|T(N)|) = O(n^3)$

(programmation dynamique, Byrka, Gawrychowski, Huber, Kelk, 2008)

Un **arbre** T compatible avec un ensemble T de triplets peut être **reconstruit** en $O(|T| + n^2 \log n)$.

(BUILD, algorithme top-down basé sur une structure de graphe, Aho, Sagiv, Szymanski, Ullman, 1981
implémentation efficace par Henzinger, King, Warnow, Soda 1996)

BUILD(X) :

- soit le graphe G tel que :

- sommets = taxons,

- arête $\{x,y\}$ si $\exists t \in T_{|x}$

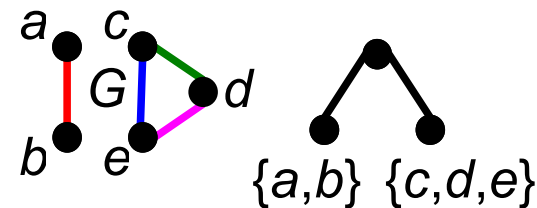
tel que $\{x,y\}$ est une cerise de t .

- les sommets dans différentes composantes connexes de G sont dans des sous-arbres différents.

- pour chaque composante connexe C , appliquer BUILD(C).

$X = \{a, b, c, d, e\}$

$T_{|x} = \{a|cd, a|ce, c|ab, d|ab, c|de\}$



Reconstruction depuis les triplets

L'ensemble $T(N)$ de **tous les triplets compatibles** avec un réseau N de niveau k peut être construit en $O(|T(N)|) = O(n^3)$

(programmation dynamique, Byrka, Gawrychowski, Huber, Kelk, 2008)

Un **arbre** T compatible avec un ensemble T de triplets peut être **reconstruit** en $O(|T| + n^2 \log n)$.

(BUILD, algorithme top-down basé sur une structure de graphe, Aho, Sagiv, Szymanski, Ullman, 1981
implémentation efficace par Henzinger, King, Warnow, Soda 1996)

BUILD(X) :

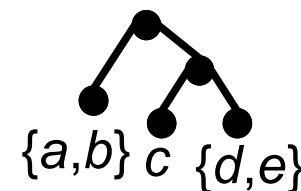
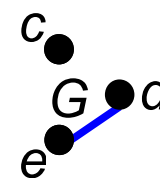
- soit le graphe G tel que :

- sommets = taxons,

- arête $\{x, y\}$ si $\exists t \in T_{|x}$

$$X = \{c, d, e\}$$

$$T_{|x} = \{c|de\}$$



tel que $\{x, y\}$ est une cerise de t .

- les sommets dans différentes composantes connexes de G sont dans des sous-arbres différents.

- pour chaque composante connexe C , appliquer BUILD(C).

Reconstruction depuis les triplets

L'ensemble $T(N)$ de **tous les triplets compatibles** avec un réseau N de niveau k peut être construit en $O(|T(N)|) = O(n^3)$

(programmation dynamique, Byrka, Gawrychowski, Huber, Kelk, 2008)

Un **arbre** T compatible avec un ensemble T de triplets peut être **reconstruit** en $O(|T| + n^2 \log n)$.

(BUILD, algorithme top-down basé sur une structure de graphe, Aho, Sagiv, Szymanski, Ullman, 1981
implémentation efficace par Henzinger, King, Warnow, Soda 1996)

BUILD(X) :

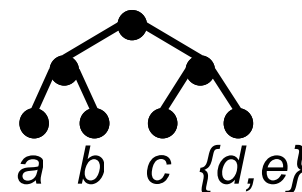
- soit le graphe G tel que :

- sommets = taxons,

- arête $\{x, y\}$ si $\exists t \in T_{|x}$

$X = \{a, b\}$

$T_{|x} = \{\}$



tel que $\{x, y\}$ est une cerise de t .

- les sommets dans différentes composantes connexes de G sont dans des sous-arbres différents.

- pour chaque composante connexe C , appliquer BUILD(C).

Reconstruction depuis les triplets

L'ensemble $T(N)$ de **tous les triplets compatibles** avec un réseau N de niveau k peut être construit en $O(|T(N)|) = O(n^3)$

(programmation dynamique, Byrka, Gawrychowski, Huber, Kelk, 2008)

Un **arbre** T compatible avec un ensemble T de triplets peut être **reconstruit** en $O(|T| + n^2 \log n)$.

(BUILD, algorithme top-down basé sur une structure de graphe, Aho, Sagiv, Szymanski, Ullman, 1981
implémentation efficace par Henzinger, King, Warnow, Soda 1996)

BUILD(X) :

- soit le graphe G tel que :

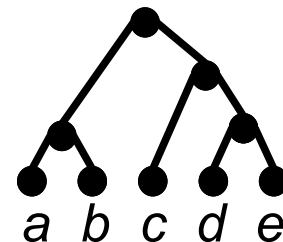
- sommets = taxons,

- arête $\{x, y\}$ si $\exists t \in T_{|x}$

$X = \{d, e\}$

$T_{|x} = \{\}$

d
 G
 e



tel que $\{x, y\}$ est une cerise de t .

- les sommets dans différentes composantes connexes de G sont dans des sous-arbres différents.

- pour chaque composante connexe C , appliquer BUILD(C).

Reconstruction depuis les triplets

Le problème de **reconstruction d'un réseau de niveau 1** compatible avec un ensemble de triplets est **NP-complet**.

(Jansson, Nguyen, Sung, 2004)

Un **réseau de niveau 1** compatible avec un ensemble **dense** de triplets peut être **reconstruit** en $O(|T(N)|) = O(n^3)$.

dense = sur chaque ensemble de 3 feuilles, au moins 1 triplet existe dans T .

(Jansson, Nguyen, Sung, 2004)

Un **réseau de niveau 2** compatible avec un ensemble **dense** de triplets peut être **reconstruit** en $O(n^8)$.

(van Iersel & al, Recomb 2008)

Algorithme basé sur une décomposition de l'ensemble des triplets en **SN-ensembles**, qui correspondent à **une décomposition du réseau**.

L'approche par obstructions

Idée :

- réduire les **conflits globaux** dans l'ensemble de triplets à des **conflits locaux**,
- si aucun conflit local, **reconstruire la configuration locale** du réseau.

L'approche par obstructions

Idée :

- réduire les **conflits globaux** dans l'ensemble de triplets à des **conflits locaux**,
- si aucun conflit local, **reconstruire la configuration locale** du réseau.

Conditions nécessaires :

- assez d'information sur l'ensemble de triplets pour trouver les conflits
 - ensemble **dense**.
- assez d'information pour reconstruire la configuration locale
 - ensemble **extrêmement dense**, i.e. aucun triplet n'est manquant (données = $T(N)$).

Caractérisation des arbres par les triplets

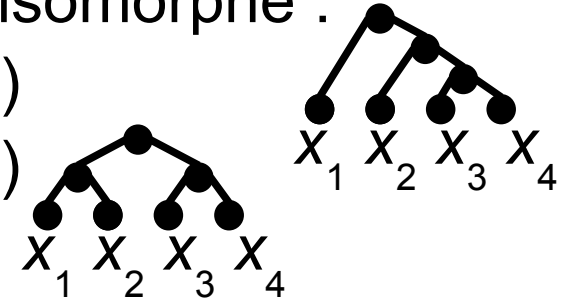
Un ensemble dense T de triplets est compatible avec un arbre T

ssi

aucun ensemble de 3 feuilles n'est dans deux triplets de T , et tout ensemble de triplets sur 4 feuilles est isomorphe :

- soit à $\{x_1|x_2x_3, x_1|x_2x_4, x_1|x_3x_4, x_2|x_3x_4\}$ (cas 1)

- soit à $\{x_1|x_3x_4, x_2|x_3x_4, x_3|x_1x_2, x_4|x_1x_2\}$ (cas 2)



ssi

T ne contient aucun ensemble de triplets isomorphe à une des quatre obstructions suivantes :

$\{a|bc, c|ab\}$, $\{a|bc, c|bd, d|ab\}$, $\{a|bc, c|bd, d|ac\}$, $\{a|bc, a|bd, d|ac\}$.

Des caractérisations similaires ont été trouvées indépendamment par Dress (1997), Guillemot & Berry (2007).

Conséquences de la caractérisation

Un algorithme **certifiant** pour reconstruire un arbre depuis un ensemble T de triplets quand c'est possible.

Les **algorithmes certifiants** renvoient, pour tout résultat, un **certificat** facilement vérifiable assurant que le résultat est **correct**.

Le certificat que nous fournissons est :

- l'arbre, s'il peut être reconstruit,
- une obstruction sur quatre triplets, sinon.

Conséquences de la caractérisation

Un algorithme **certifiant** pour reconstruire un arbre depuis un ensemble T de triplets quand c'est possible.

Les **algorithmes certifiants** renvoient, pour tout résultat, un **certificat** facilement vérifiable assurant que le résultat est **correct**.

Le certificat que nous fournissons est :

- l'arbre, s'il peut être reconstruit,
 - vérifier que tous les triplets fournis en entrée sont compatibles est facile
- une obstruction sur quatre triplets, sinon.
 - vérifier qu'elle est isomorphe à une des quatre obstructions est facile

L'algorithme de reconstruction d'arbre

Un algorithme **certifiant** pour reconstruire un arbre depuis un ensemble T de triplets quand c'est possible.

1. Algorithme récursif sur X :

- Choisir un triplet $a|bc$ dans $T_{|x}$

- Pour toute feuille x , considérer $T_{\{a,b,c,x\}}$ pour savoir dans quelle zone placer x parmi 5 possibles.

- Pour tout ensemble de feuilles correspondant à chaque zone, appliquer l'algorithme récursif.

- Connecter les arbres obtenus récursivement.

2. Vérifier que tous les triplets de T sont dans l'arbre obtenu.

L'algorithme de reconstruction d'arbre

Un algorithme **certifiant** pour reconstruire un arbre depuis un ensemble T de triplets quand c'est possible.

1. Algorithme récursif sur X :

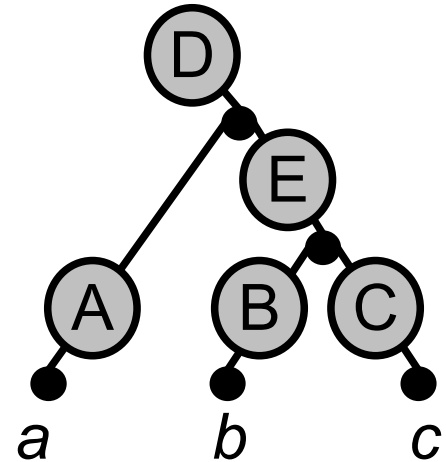
- Choisir un triplet $a|bc$ dans $T_{|x}$

- Pour toute feuille x , considérer $T_{\{a,b,c,x\}}$ pour savoir dans quelle zone placer x parmi 5 possibles.

- Pour tout ensemble de feuilles correspondant à chaque zone, appliquer l'algorithme récursif.

- Connecter les arbres obtenus récursivement.

2. Vérifier que tous les triplets de T sont dans l'arbre obtenu.



A: $\{a|bc, b|ax, c|ax, x|bc\}$
B: $\{a|bc, a|bx, a|cx, c|bx\}$
C: $\{a|bc, a|bx, a|cx, b|cx\}$
D: $\{a|bc, x|ab, x|ac, x|bc\}$
E: $\{a|bc, a|bx, a|cx, x|bc\}$

L'algorithme de reconstruction d'arbre

Un algorithme **certifiant** pour reconstruire un arbre depuis un ensemble T de triplets quand c'est possible.

1. Algorithme récursif sur X :

- Choisir un triplet $a|bc$ dans $T_{|x}$

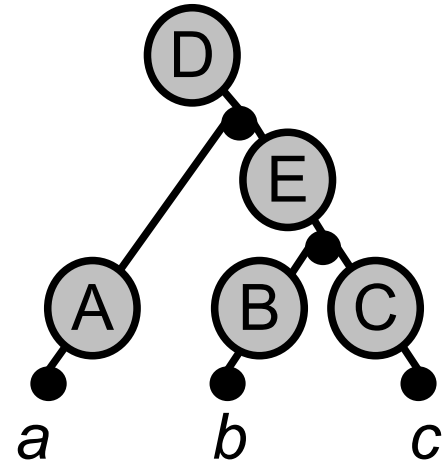
- Pour toute feuille x , considérer $T_{\{a,b,c,x\}}$ pour savoir dans quelle zone placer x parmi 5 possibles.
Aucune zone ne convient ? Obstruction !

- Pour tout ensemble de feuilles correspondant à chaque zone, appliquer l'algorithme récursif.

- Connecter les arbres obtenus récursivement.

2. Vérifier que tous les triplets de T sont dans l'arbre obtenu.

Un triplet n'est pas compatible ? Obstruction !



A: $\{a|bc, b|ax, c|ax, x|bc\}$
B: $\{a|bc, a|bx, a|cx, c|bx\}$
C: $\{a|bc, a|bx, a|cx, b|cx\}$
D: $\{a|bc, x|ab, x|ac, x|bc\}$
E: $\{a|bc, a|bx, a|cx, x|bc\}$

L'algorithme de reconstruction d'arbre

Un algorithme **certifiant** pour reconstruire un arbre depuis un ensemble T de triplets quand c'est possible.

1. Algorithme récursif sur X : $X=\{a,b,c,d,e,f,g,h,i,j,k\}$

- Choisir un triplet $a|bc$ dans $T_{|x}$

- Pour toute feuille x , considérer $T_{\{a,b,c,x\}}$ pour savoir dans quelle zone placer x parmi 5 possibles.

- Pour tout ensemble de feuilles correspondant à chaque zone, appliquer l'algorithme récursif.

- Connecter les arbres obtenus récursivement.

2. Vérifier que tous les triplets de T sont dans l'arbre obtenu.

L'algorithme de reconstruction d'arbre

Un algorithme **certifiant** pour reconstruire un arbre depuis un ensemble T de triplets quand c'est possible.

1. Algorithme récursif sur X :

$$X = \{a, b, c, d, e, f, g, h, i, j, k\}$$

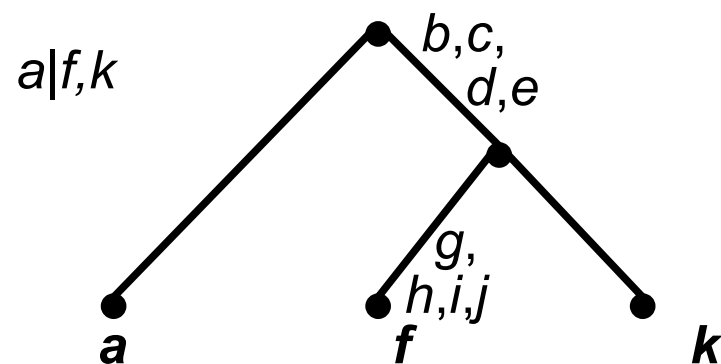
- Choisir un triplet $a|bc$ dans $T_{|x}$

- Pour toute feuille x , considérer $T_{\{|a,b,c,x\}}$ pour savoir dans quelle zone placer x parmi 5 possibles.

- Pour tout ensemble de feuilles correspondant à chaque zone, appliquer l'algorithme récursif.

- Connecter les arbres obtenus récursivement.

2. Vérifier que tous les triplets de T sont dans l'arbre obtenu.



L'algorithme de reconstruction d'arbre

Un algorithme **certifiant** pour reconstruire un arbre depuis un ensemble T de triplets quand c'est possible.

1. Algorithme récursif sur X :

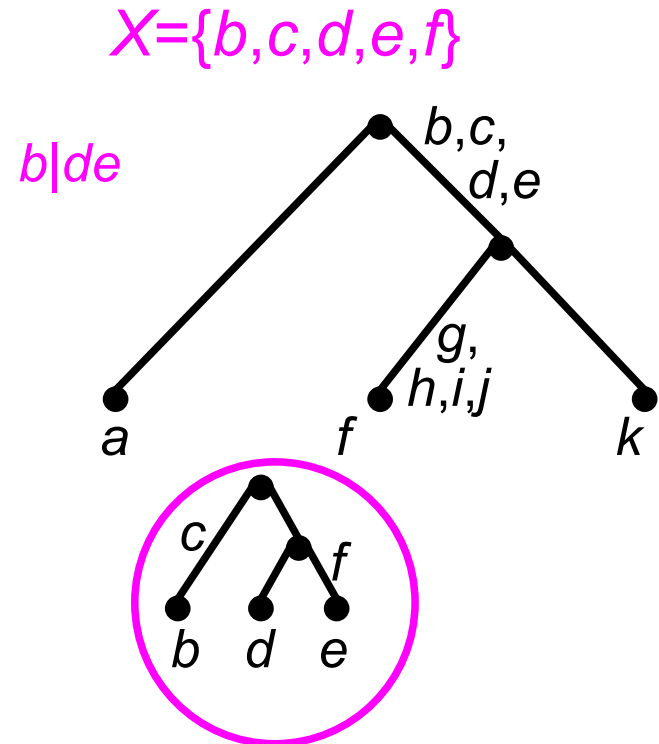
- Choisir un triplet $a|bc$ dans $T|_X$

- Pour toute feuille x , considérer $T|_{\{a,b,c,x\}}$ pour savoir dans quelle zone placer x parmi 5 possibles.

- Pour tout ensemble de feuilles correspondant à chaque zone, appliquer l'algorithme récursif.

- Connecter les arbres obtenus récursivement.

2. Vérifier que tous les triplets de T sont dans l'arbre obtenu.



L'algorithme de reconstruction d'arbre

Un algorithme **certifiant** pour reconstruire un arbre depuis un ensemble T de triplets quand c'est possible.

1. Algorithme récursif sur X :

$X = \{b, c\}$

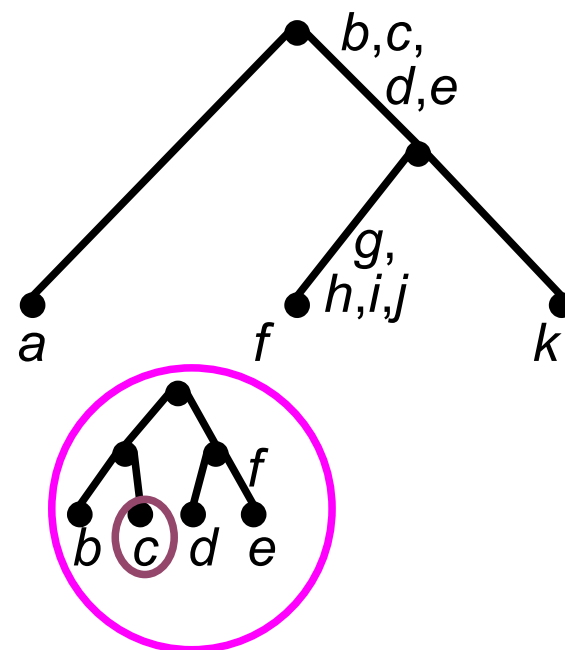
- Choisir un triplet $a|bc$ dans $T_{|x}$

- Pour toute feuille x , considérer $T_{\{|a,b,c,x\}}$ pour savoir dans quelle zone placer x parmi 5 possibles.

- Pour tout ensemble de feuilles correspondant à chaque zone, appliquer l'algorithme récursif.

- Connecter les arbres obtenus récursivement.

2. Vérifier que tous les triplets de T sont dans l'arbre obtenu.



L'algorithme de reconstruction d'arbre

Un algorithme **certifiant** pour reconstruire un arbre depuis un ensemble T de triplets quand c'est possible.

1. Algorithme récursif sur X :

$$X = \{e, f\}$$

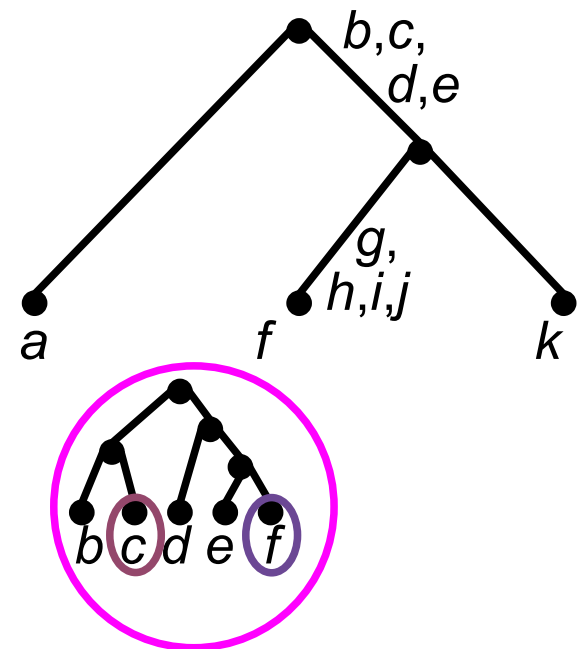
- Choisir un triplet $a|bc$ dans $T_{|x}$

- Pour toute feuille x , considérer $T_{\{|a,b,c,x\}}$ pour savoir dans quelle zone placer x parmi 5 possibles.

- Pour tout ensemble de feuilles correspondant à chaque zone, appliquer l'algorithme récursif.

- Connecter les arbres obtenus récursivement.

2. Vérifier que tous les triplets de T sont dans l'arbre obtenu.



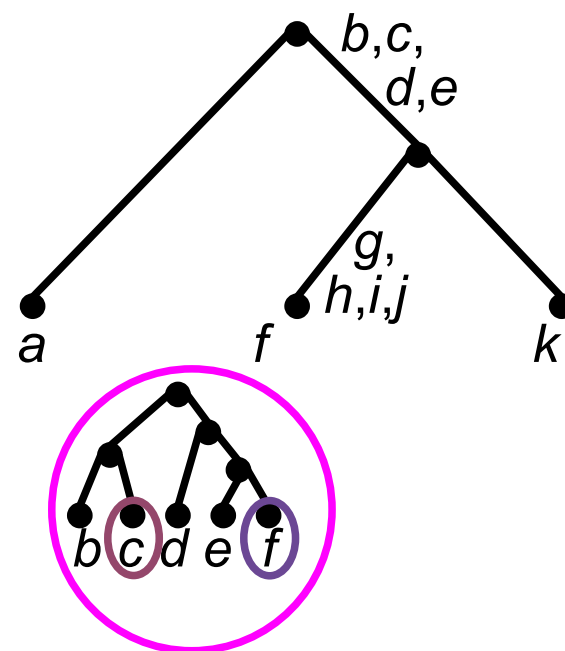
L'algorithme de reconstruction d'arbre

Un algorithme **certifiant** pour reconstruire un arbre depuis un ensemble T de triplets quand c'est possible.

1. Algorithme récursif sur X :

- Choisir un triplet $a|bc$ dans $T_{|x}$
- Pour toute feuille x , considérer $T_{\{|a,b,c,x\}}$ pour savoir dans quelle zone placer x parmi 5 possibles.
- Pour tout ensemble de feuilles correspondant à chaque zone, appliquer l'algorithme récursif.
- Connecter les arbres obtenus récursivement.

$X=\{b,c,d,e,f\}$



2. Vérifier que tous les triplets de T sont dans l'arbre obtenu.

L'algorithme de reconstruction d'arbre

Un algorithme **certifiant** pour reconstruire un arbre depuis un ensemble T de triplets quand c'est possible.

1. Algorithme récursif sur X :

$X = \{b, c, d, e, f\}$

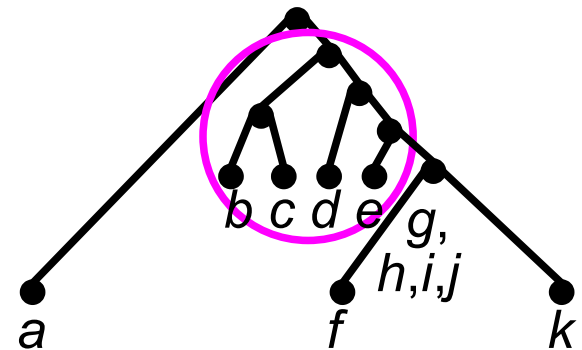
- Choisir un triplet $a|bc$ dans $T_{|x}$

- Pour toute feuille x , considérer $T_{\{|a,b,c,x\}}$ pour savoir dans quelle zone placer x parmi 5 possibles.

- Pour tout ensemble de feuilles correspondant à chaque zone, appliquer l'algorithme récursif.

- Connecter les arbres obtenus récursivement.

2. Vérifier que tous les triplets de T sont dans l'arbre obtenu.



L'algorithme de reconstruction d'arbre

Un algorithme **certifiant** pour reconstruire un arbre depuis un ensemble T de triplets quand c'est possible.

1. Algorithme récursif sur X :

$X = \{f, g, h, i, j\}$

- Choisir un triplet $a|bc$ dans $T|_X$

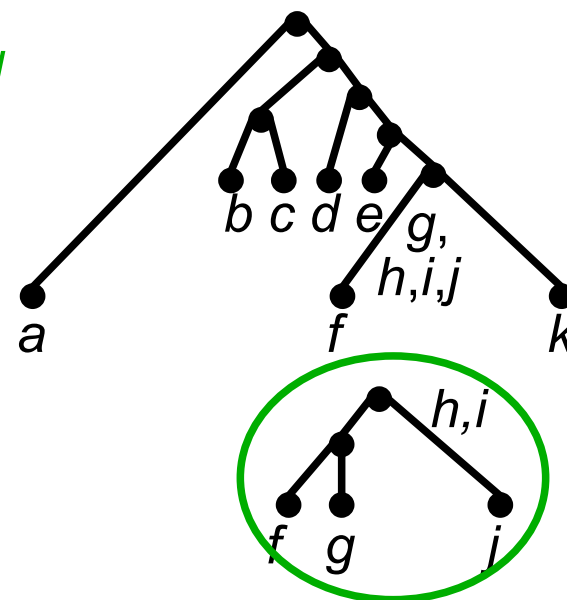
$j|fg$

- Pour toute feuille x , considérer $T|_{\{a,b,c,x\}}$ pour savoir dans quelle zone placer x parmi 5 possibles.

- Pour tout ensemble de feuilles correspondant à chaque zone, appliquer l'algorithme récursif.

- Connecter les arbres obtenus récursivement.

2. Vérifier que tous les triplets de T sont dans l'arbre obtenu.



L'algorithme de reconstruction d'arbre

Un algorithme **certifiant** pour reconstruire un arbre depuis un ensemble T de triplets quand c'est possible.

1. Algorithme récursif sur X :

$$X = \{h, i, j\}$$

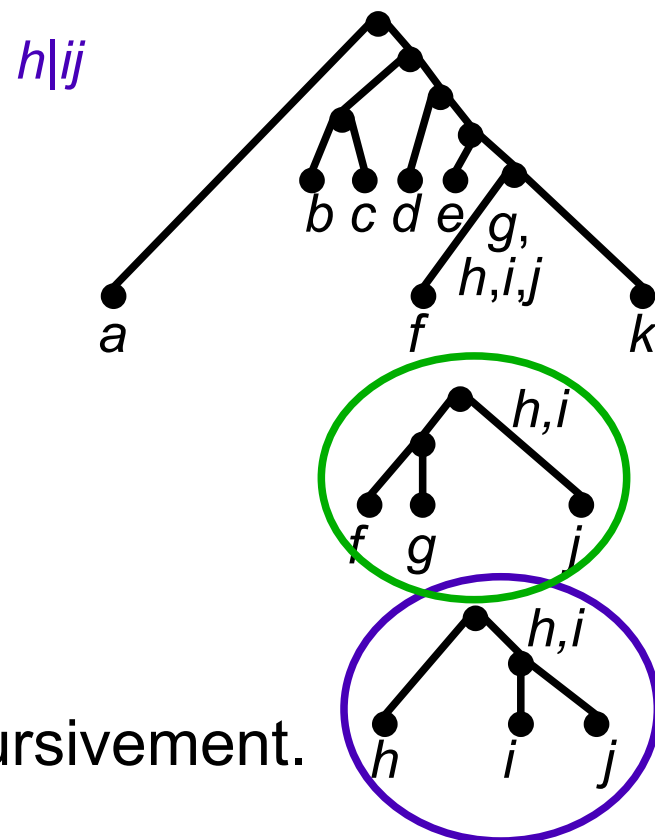
- Choisir un triplet $a|bc$ dans $T|_X$

- Pour toute feuille x , considérer $T_{\{a,b,c,x\}}$ pour savoir dans quelle zone placer x parmi 5 possibles.

- Pour tout ensemble de feuilles correspondant à chaque zone, appliquer l'algorithme récursif.

- Connecter les arbres obtenus récursivement.

2. Vérifier que tous les triplets de T sont dans l'arbre obtenu.



L'algorithme de reconstruction d'arbre

Un algorithme **certifiant** pour reconstruire un arbre depuis un ensemble T de triplets quand c'est possible.

1. Algorithme récursif sur X :

$$X = \{h, i, j\}$$

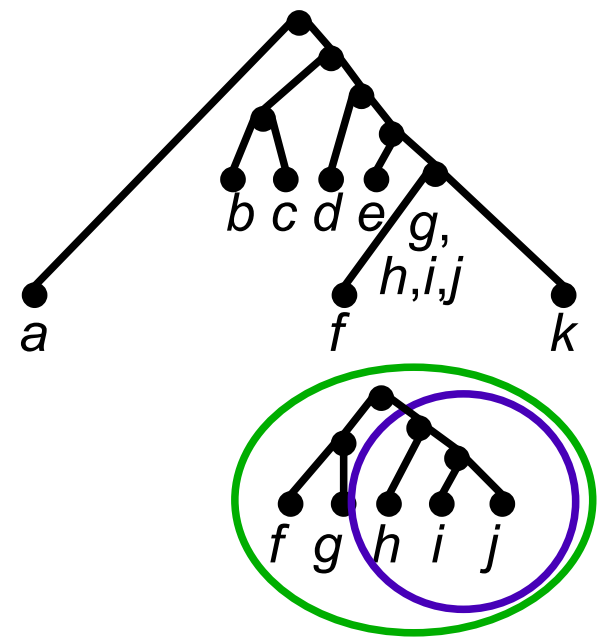
- Choisir un triplet $a|bc$ dans $T|_X$

- Pour toute feuille x , considérer $T|_{\{a,b,c,x\}}$ pour savoir dans quelle zone placer x parmi 5 possibles.

- Pour tout ensemble de feuilles correspondant à chaque zone, appliquer l'algorithme récursif.

- Connecter les arbres obtenus récursivement.

2. Vérifier que tous les triplets de T sont dans l'arbre obtenu.



L'algorithme de reconstruction d'arbre

Un algorithme **certifiant** pour reconstruire un arbre depuis un ensemble T de triplets quand c'est possible.

1. Algorithme récursif sur X :

$X = \{f, g, h, i, j\}$

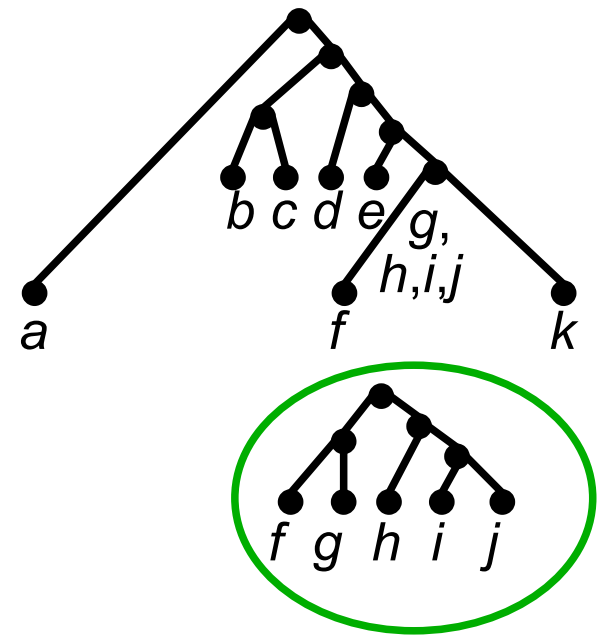
- Choisir un triplet $a|bc$ dans $T|_X$

- Pour toute feuille x , considérer $T|_{\{a,b,c,x\}}$ pour savoir dans quelle zone placer x parmi 5 possibles.

- Pour tout ensemble de feuilles correspondant à chaque zone, appliquer l'algorithme récursif.

- Connecter les arbres obtenus récursivement.

2. Vérifier que tous les triplets de T sont dans l'arbre obtenu.



L'algorithme de reconstruction d'arbre

Un algorithme **certifiant** pour reconstruire un arbre depuis un ensemble T de triplets quand c'est possible.

1. Algorithme récursif sur X :

$X = \{f, g, h, i, j\}$

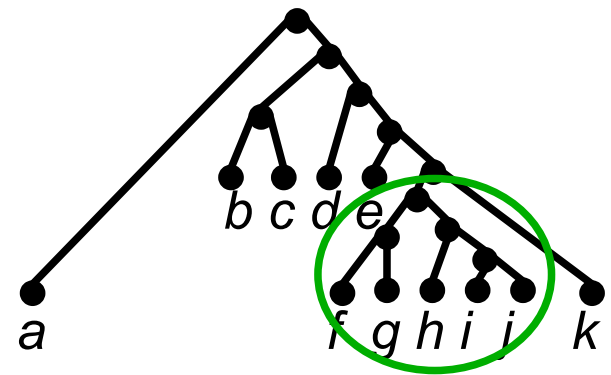
- Choisir un triplet $a|bc$ dans $T_{|x}$

- Pour toute feuille x , considérer $T_{\{|a,b,c,x\}}$ pour savoir dans quelle zone placer x parmi 5 possibles.

- Pour tout ensemble de feuilles correspondant à chaque zone, appliquer l'algorithme récursif.

- Connecter les arbres obtenus récursivement.

2. Vérifier que tous les triplets de T sont dans l'arbre obtenu.



L'algorithme de reconstruction d'arbre

Un algorithme **certifiant** pour reconstruire un arbre depuis un ensemble T de triplets quand c'est possible.

1. Algorithme récursif sur X :

$X = \{a, b, c, d, e, f, g, h, i, j, k\}$

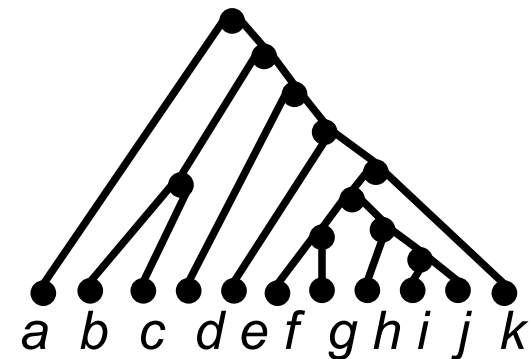
- Choisir un triplet $a|bc$ dans $T_{|x}$

- Pour toute feuille x , considérer $T_{\{a,b,c,x\}}$ pour savoir dans quelle zone placer x parmi 5 possibles.

- Pour tout ensemble de feuilles correspondant à chaque zone, appliquer l'algorithme récursif.

- Connecter les arbres obtenus récursivement.

2. Vérifier que tous les triplets de T sont dans l'arbre obtenu.

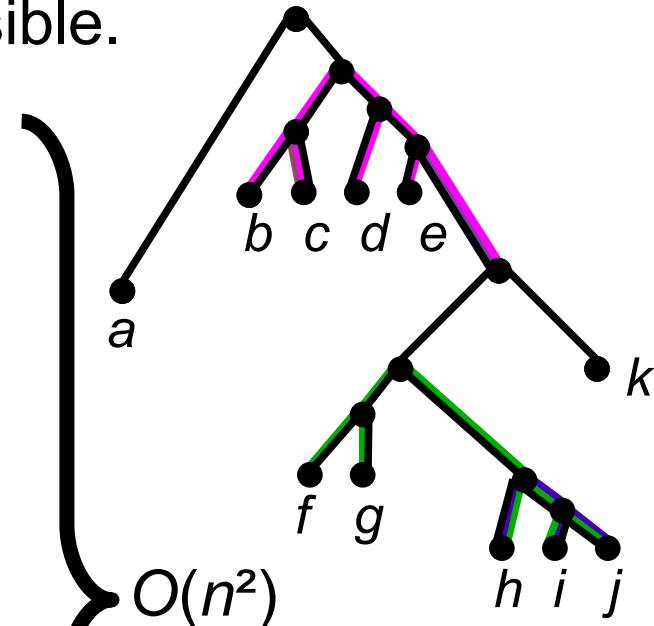


L'algorithme de reconstruction d'arbre

Un algorithme **certifiant** pour reconstruire un arbre depuis un ensemble T de triplets quand c'est possible.

1. Algorithme récursif sur X :

- Choisir un triplet $a|bc$ dans $T_{|x}$
- Pour toute feuille x , considérer $T_{\{a,b,c,x\}}$ pour savoir dans quelle zone placer x parmi 5 possibles.
- Pour tout ensemble de feuilles correspondant à chaque zone, appliquer l'algorithme récursif.
- Connecter les arbres obtenus.



$O(n^2)$

$O(n)$ feuilles
→ $O(n)$ arêtes
→ $O(n)$ ensembles
d'arêtes non
chevauchants
→ $O(n)$ appels
récursifs

2. Vérifier que tous les triplets de T sont dans l'arbre. $O(n^3)$

Algorithme FPT pour l'édition de triplets

Un algorithme **certifiant** pour reconstruire un arbre depuis un ensemble T de triplets quand c'est possible.

Corollaire:

Une obstruction sur 4 feuilles peut être trouvée en $O(n^3)$.

Maximum Compatible Subset of Rooted Triples:

Données : Ensemble T de triplets, entier $t \leq |T|$.

Question : Existe-t-il un sous-ensemble de T de taille au moins $|T|-t$ compatible avec un arbre ?

Algorithme FPT pour l'édition de triplets

Un algorithme **certifiant** pour reconstruire un arbre depuis un ensemble T de triplets quand c'est possible.

Corollaire:

Une obstruction sur 4 feuilles peut être trouvée en $O(n^3)$.

Maximum Compatible Subset of Rooted Triples:

Données : Ensemble T de triplets, entier $t \leq |T|$.

Question : Existe-t-il un sous-ensemble de T de taille au moins $|T|-t$ compatible avec un arbre ?

NP-complet.

(preuves par Bryant 1997, Jansson 2001, Wu 2004)

Algorithme en $O((|T|+n^2)3^n)$.

(Wu, 2004)

Algorithme FPT pour l'édition de triplets

Un algorithme **certifiant** pour reconstruire un arbre depuis un ensemble T de triplets quand c'est possible.

Corollaire:

Une obstruction sur 4 feuilles peut être trouvée en $O(n^3)$.

Maximum Compatible Subset of Rooted Triples:

Données : Ensemble T de triplets, entier $t \leq |T|$.

Question : Existe-t-il un sous-ensemble de T de taille au moins $|T|-t$ compatible avec un arbre ?

Algorithme FPT pour des ensembles denses :

- trouver une obstruction $O(n^3)$
- éditer un de ses triplets :
 - 2 possibilités pour chaque triplet
 - total de 6 possibilités

Complexité totale : $O(6^t n^3)$

Algorithme FPT pour l'édition de triplets

Un algorithme **certifiant** pour reconstruire un arbre depuis un ensemble T de triplets quand c'est possible.

Corollaire:

Une obstruction sur 4 feuilles peut être trouvée en $O(n^3)$.

Maximum Compatible Subset of Rooted Triples:

Données : Ensemble T de triplets, entier $t \leq |T|$.

Question : Existe-t-il un sous-ensemble de T de taille au moins $|T|-t$ compatible avec un arbre ?

Algorithme FPT pour des ensembles denses :

- trouver une obstruction $O(n^3)$
- éditer un de ses triplets :
 - 2 possibilités pour chaque triplet
 - total de 6 possibilités

Complexité totale : $O(6^t n + n^4)$ en mettant à jour la liste des obstructions.

Extrême densité au niveau 1

Un algorithme **certifiant** pour reconstruire un arbre depuis un ensemble T de triplets quand c'est possible.

Corollaire :

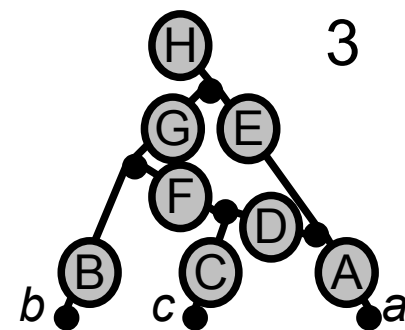
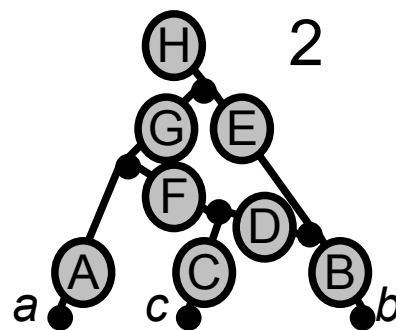
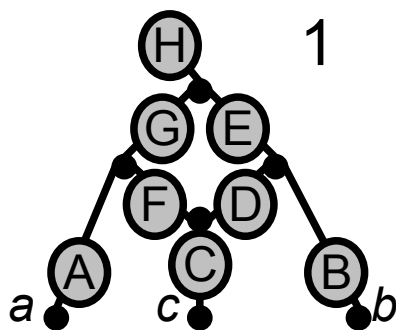
Algorithme similaire en $O(n^3)$ pour décider s'il existe un réseau de niveau 1 dont l'ensemble de triplets est exactement T .

- un point de départ différent :

si T est l'ensemble de tous les triplets compatible avec un réseau de niveau strictement 1 alors T contient un ensemble de triplets isomorphe à $\{a|bc, b|ac\}$.

→ commencer avec $\{a|bc, c|ab\}$

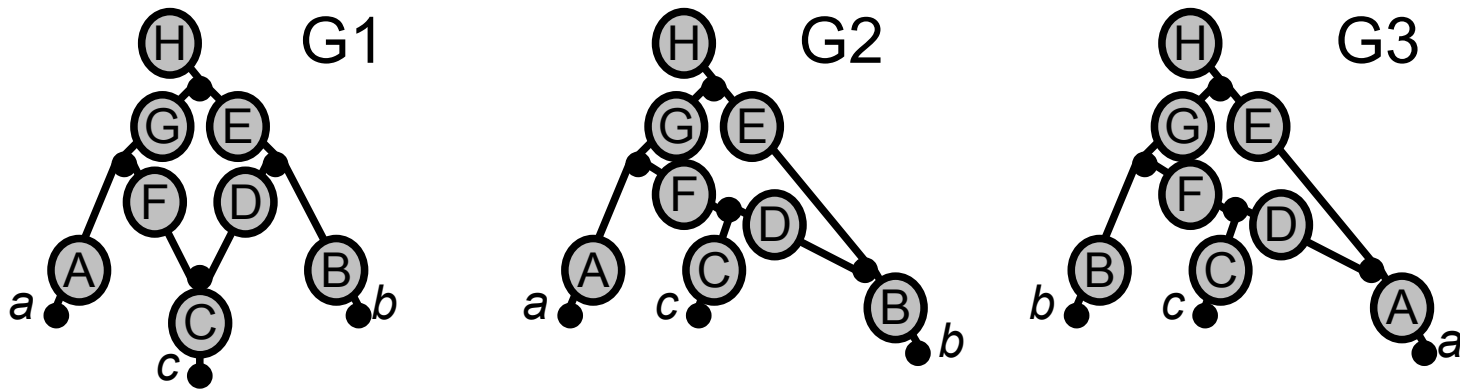
- des zones différentes :



Décision pour l'extrême densité au niveau 1

Algorithme en $O(n^3)$ pour décider s'il existe un réseau de niveau 1 dont l'ensemble de triplets est exactement T .

- des zones différentes :



Des définitions différentes pour les zones D, E, F, G selon la configuration G1, G2, G3

→ détection de certaines incompatibilités

Des définitions identiques pour les zones A, B, C, H dans les configurations G1, G2, G3

→ ambiguïté entre deux configurations

→ quel est le noeud hybride : a, b ou c ?

Codage des réseaux de niveau 1

Un réseau strictement de niveau 1 est **encodable** par ses triplets s'il est le seul réseau strictement de niveau 1 ayant cet ensemble de triplets.

Caractérisation des réseaux de niveau 1 encodables :

Un réseau strictement de niveau 1 est encodable par ses triplets ssi tout blob contient au moins 5 sommets

- Caractériser les réseaux de niveau >1 encodables par leurs triplets ?
- Caractériser les ensembles de triplets compatibles avec un **unique** réseau de niveau 1 ?
- Caractériser les ensembles de triplets compatibles avec un réseau de niveau 1 (par des obstructions comme pour les arbres)

Des questions ?

Merci pour votre attention !

<http://www.lirmm.fr/~gambette>